

TAVOLA XXVI.

SPIEGAZIONE DELLE FIGURE.

Eugenio (Eugenio) Cesare Arcangeli

Fig. 20. — Eminent details of the bone structure of the
fistulae (x 18).

Fig. 21. — 2° bone, section of the
fistula (x 18).

A. ARCANGETI fig.

.IVXX AJOVAT

SPIEGAZIONE DELLE FIGURE.

Eubelum (Eubelum) kisantui ARCANGELI.

Fig. 50. — Epimere destro del 1° pereionite, visto di lato e dorsalmente (x 18).

Fig. 51. — 5° pleonite, pleotelson ed uropodi, visti dal dorso (x 18).

A. ARCANGELI del.

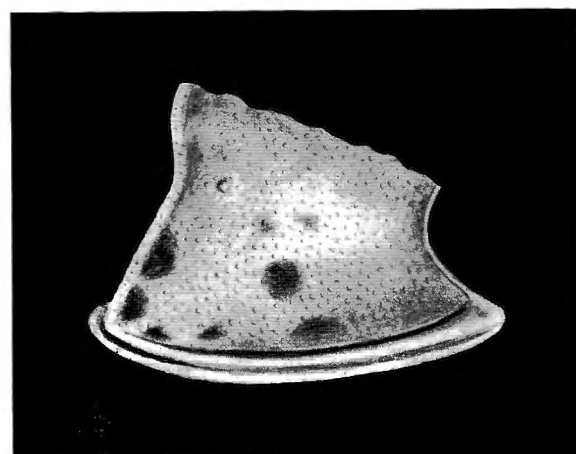


Fig. 50.

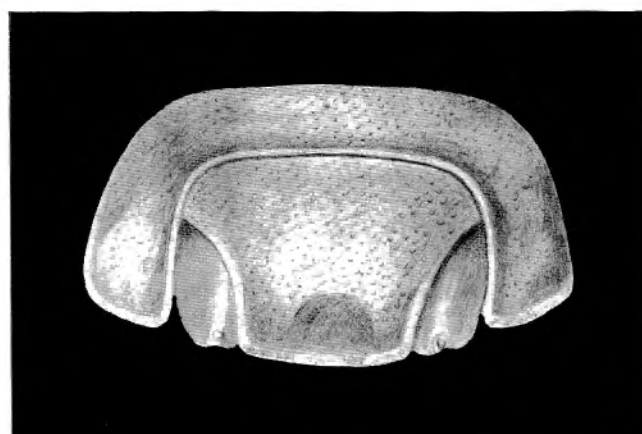


Fig. 51.

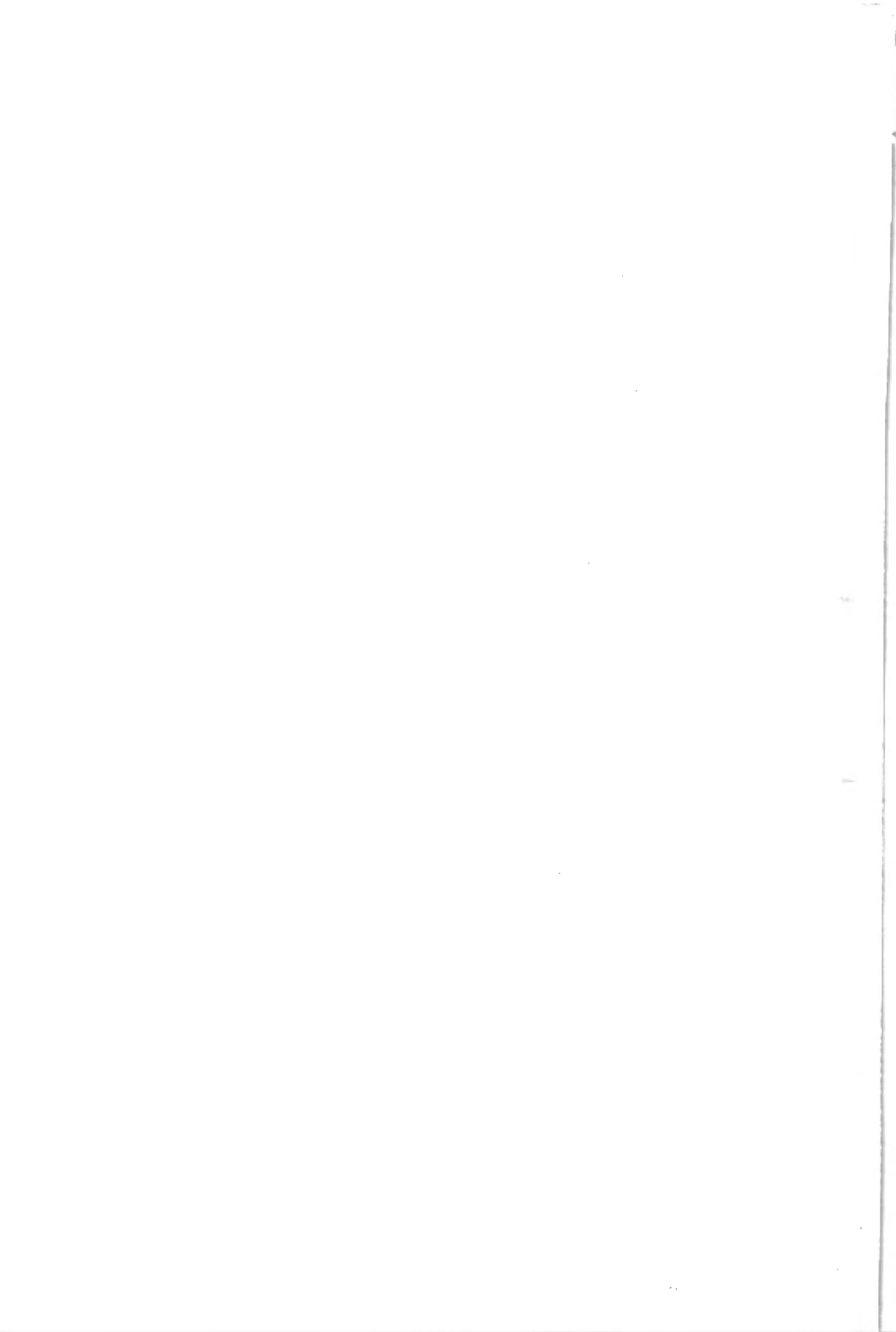


TAVOLA XXVII.

SPIEGAZIONE DELLE FIGURE.

Dipendenza (Dependence) bicipite ARCANGETI.

Fig. 25. — Cephalon e base anteriore del I. berlio-
nico, visto dal dorso (x 18).

Fig. 23. — Epimero destro del I. berolinico, visto da
sotto e osservante (x 36,2).

A. ARCANGETI det.

JIVXX AJOVAT

SPIEGAZIONE DELLE FIGURE.

Eubelum (Eubelum) pictum ARCANGELI.

Fig. 52. — Cephalon e parte anteriore del 1° pereionite, visti dal dorso ($\times 18$).

Fig. 53. — Epimere destro del 1° pereionite, visto di lato e dorsalmente ($\times 26,5$).

A. ARCANGELI del.

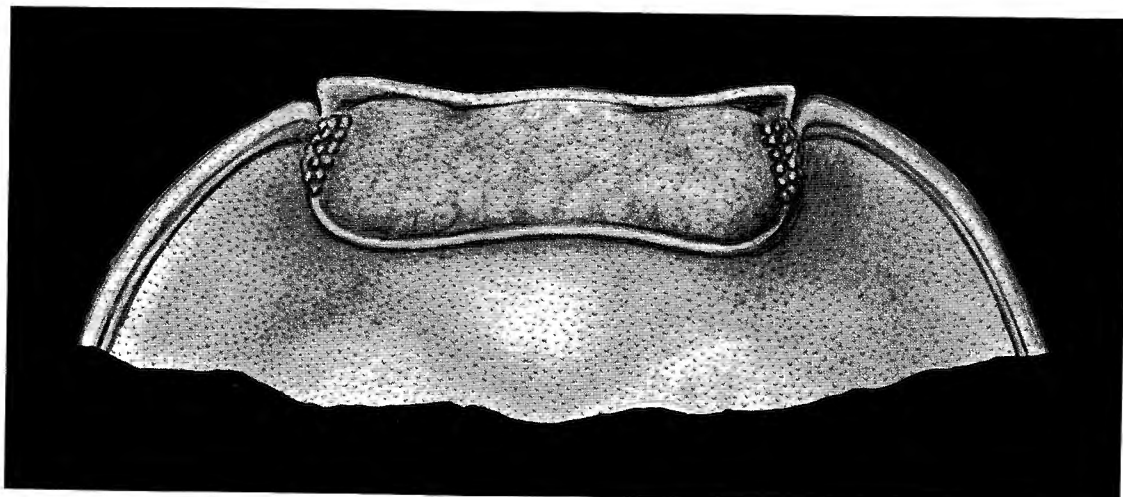


Fig. 52.

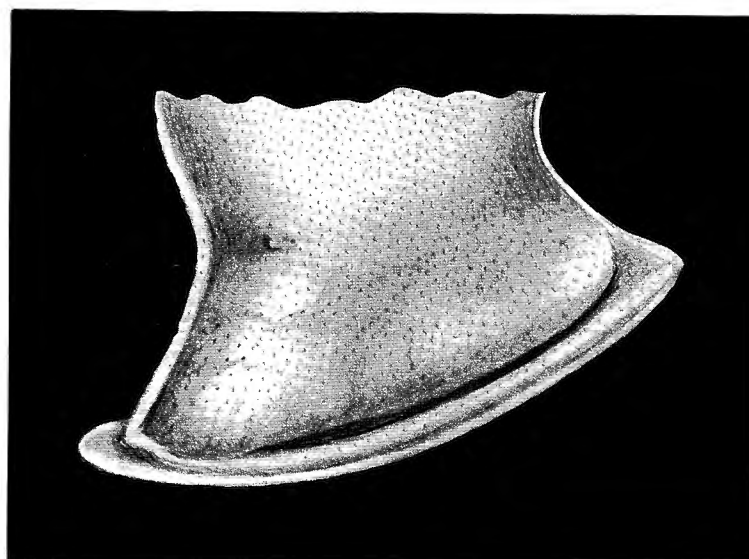


Fig. 53.



TAVOLA XXVIII.

SPIEGAZIONE DELLE FIGURE.

Empelus (Empelus) bicolor ARCANOETI.

Fig. 24. — 2° profilo, proiezione di mobozi, visto dal dorso (x 33).

Empelus (Empelus) bicolor ARCANOETI.

Fig. 25. — Capsula e base suturale del 1° sternite, visto, visto dal dorso (x 34).

Fig. 26. — Epimere destro del 1° sternite, visto da sotto e grossamente (x 30).

A. ARCANOETI det.

.HIVXX AJOVAT

SPIEGAZIONE DELLE FIGURE.

Eubelum (Eubelum) pictum ARCANGELI.

Fig. 54. — 5° pleonite, pleotelson ed uropodi, visti dal dorso (x 23).

Eubelum (Eubelum) paralubricum ARCANGELI.

Fig. 55. — Cephalon e parte anteriore del 1° pereionite, visti dal dorso (x 24).

Fig. 56. — Epimere destro del 1° pereionite, visto di lato e dorsalmente (x 20).

A. ARCANGELI del.

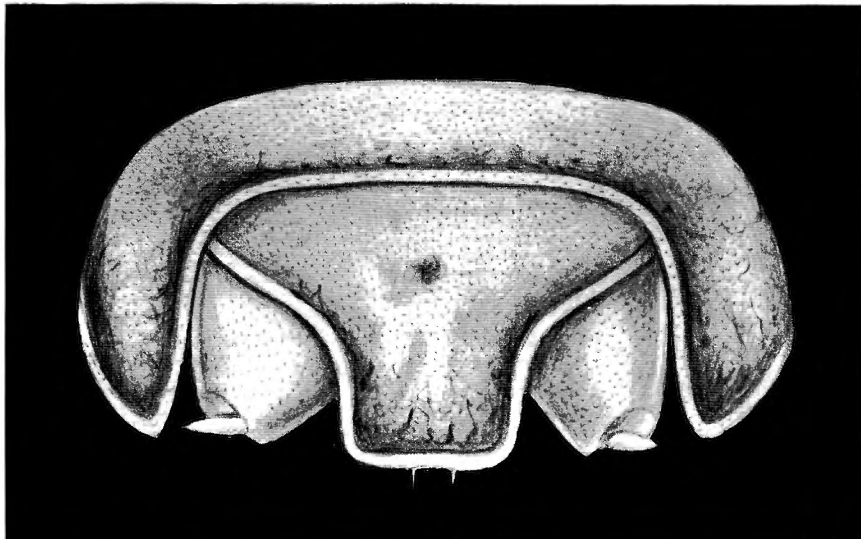


Fig. 54.

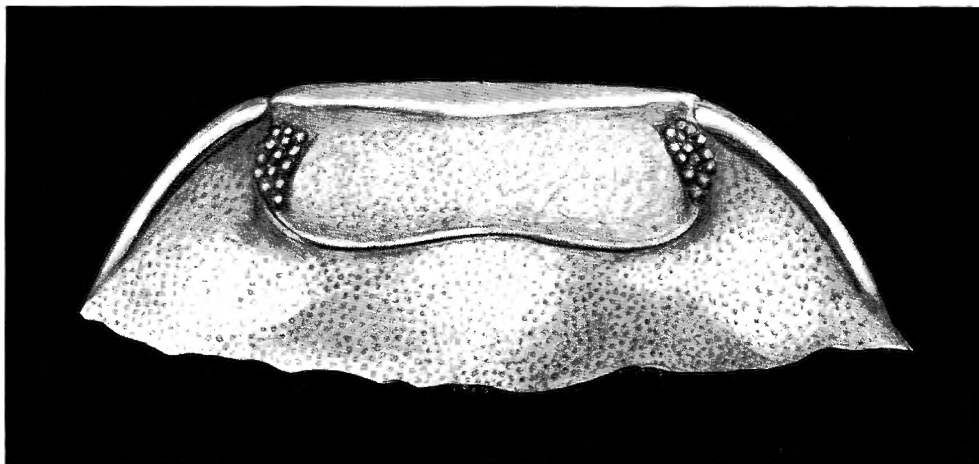


Fig. 55.

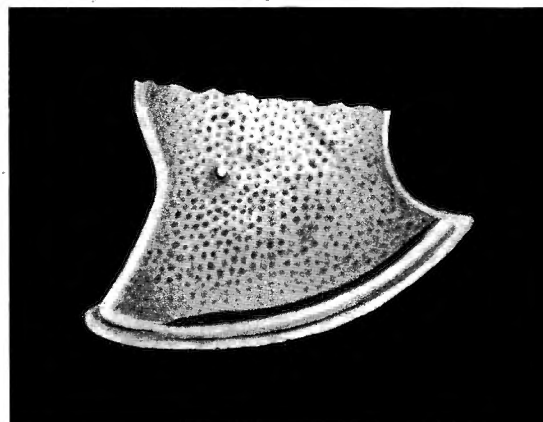


Fig. 56.

TAVOLA XXIX.

SPECIAZIONE DELLE FIGURE

Fig. 27. — *2° piano, proiezione dell'arcangelo*.

Fig. 27. — *2° piano, proiezione dell'arcangelo*, visto dal
profilo (x 30).

Fig. 28. — *Piatto distale del 2° articolato dello stesso e
profilo dell'ultima dentina, visto dal ventre
(x 30).*

A. ARCANGETTI *vist.*

XIXX ALIOVAT

SPIEGAZIONE DELLE FIGURE.

Eubelum (Eubelum) paralubricum ARCANGELI.

Fig. 57. — 5° pleonite, pleotelson ed uropodi, visti dal dorso (x 20).

Fig. 58. — Parte distale del 5° articolo dello scapo e flagello dell'antenna destra, visti dal ventre (x 90).

A. ARCANGELI del.

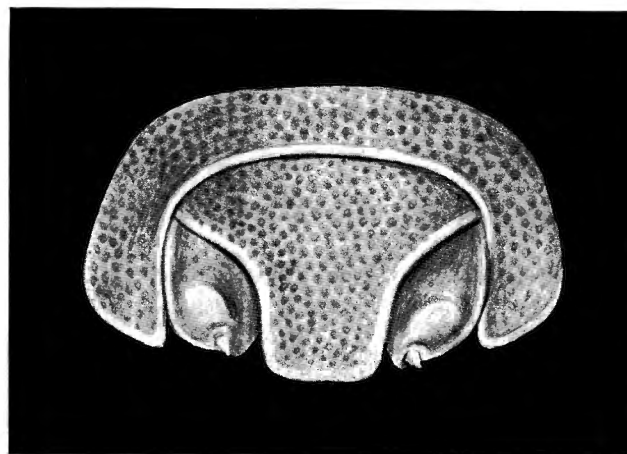


Fig. 57.

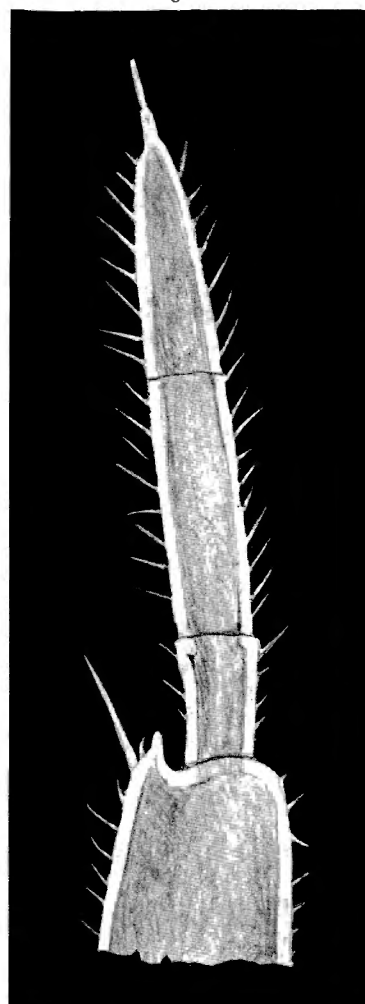


Fig. 58.

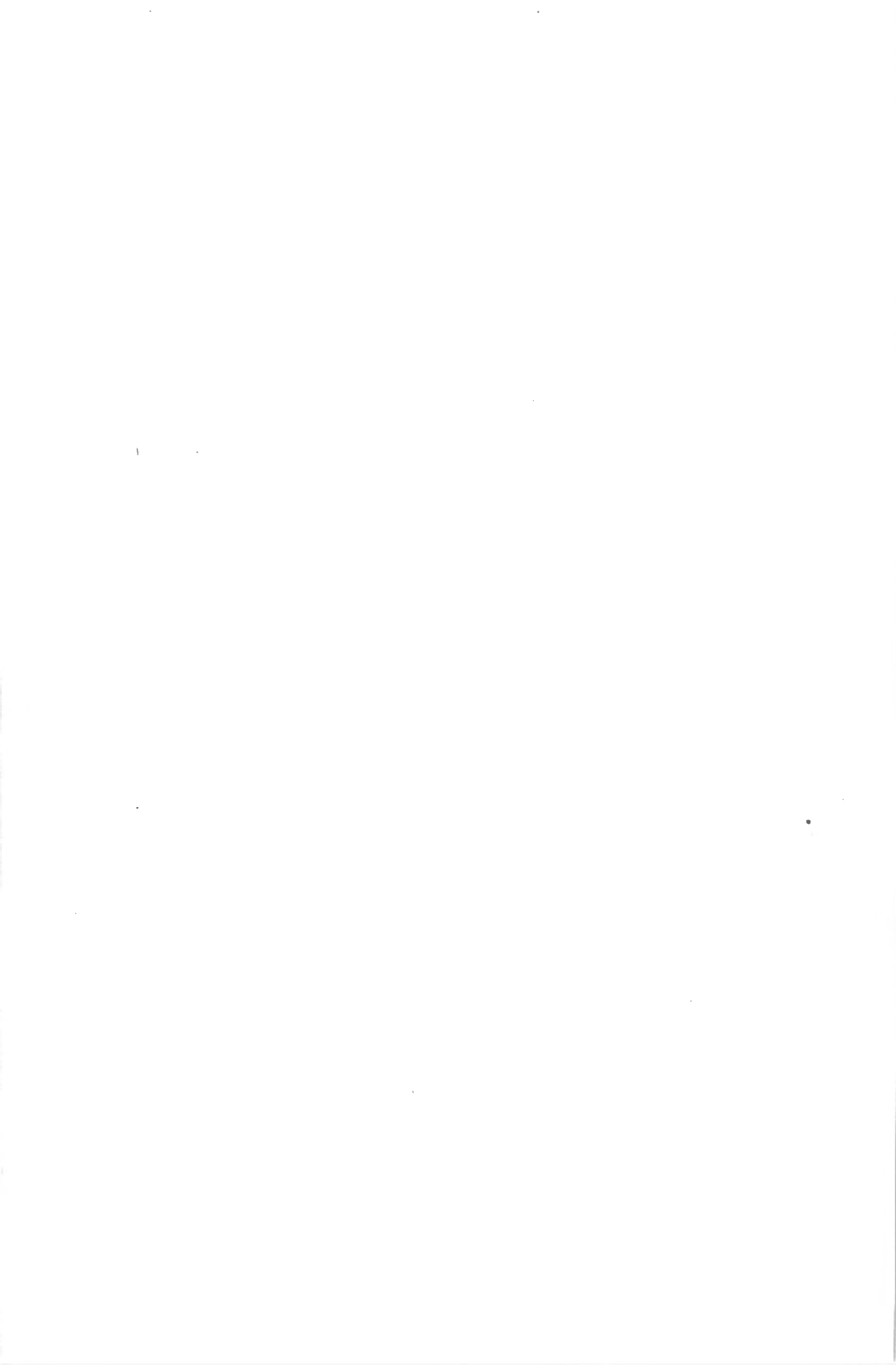


TAVOLA XXX.

SPIEGAZIONE DELLA FIGURA.

Eugenio (Eugenio) Arcangeli.

Fig. 29. — Parte distale del peribocca, incisivobuccale, metolobocattiva e parte prossimale del ciboforo,
dite del 3º bericoboco del a, visto dal lato
posteriore (x 30).

A. ARCANGETI det.

XXX AJOVAT

SPIEGAZIONE DELLE FIGURE.

Eubelum (Eubelum) paralubricum ARCANGELI.

Fig. 59. — Parte distale del basipodite, ischiopodite, meropodite e parte prossimale del carpopodite del 7º pereiopode del ♂, visto dal lato rostrale (x 90).

A. ARCANGELI del.

INSTITUT DES PARCS NATIONAUX DU CONGO BELGE

Exploration du Parc National Albert

Mission H. Damas (1935-1936) Fasc. 15

PL. XXX.



Fig. 59.

TAVOLA XXXI.

SPECIAZIONE DELLE FIGURE

Emperium (Empire) battagliere Arcangeli.

Fig. 00. — Esequiole del 1º batailleur del a.
della del 1º lotto (x 20).

Emperium (Empire) abetis Van Name.

Fig. 01. — Parte distale del pescebo, esquiole
mesobocca e parte dorsale del cariopo-
dito del 1º batailleur della del a., visto
dalla del 1º lotto (x 20).

A. ARCANEGLI del.

.IXXX AJOVAT

SPIEGAZIONE DELLE FIGURE.

Eubelum (Eubelum) paralubricum ARCANGELI.

Fig. 60. — Exopodite del 1° pleopode sinistro del ♂, visto dal lato rostrale (x 90).

Eubelum (Pseudethelum) asperius VAN NAME.

Fig. 61. — Parte distale del basipodite, ischiopodite, meropodite e parte prossimale del carpopodite del 7° pereiopode destro del ♂, visto dal lato rostrale (x 90).

A. ARCANGELI del.

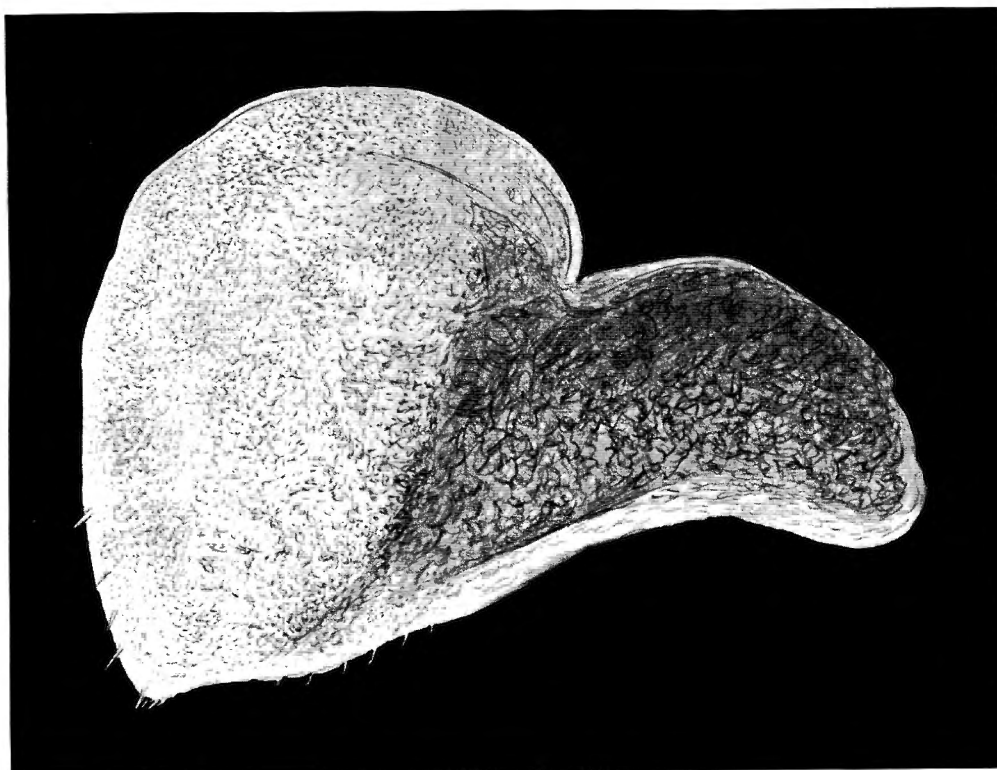


Fig. 60.

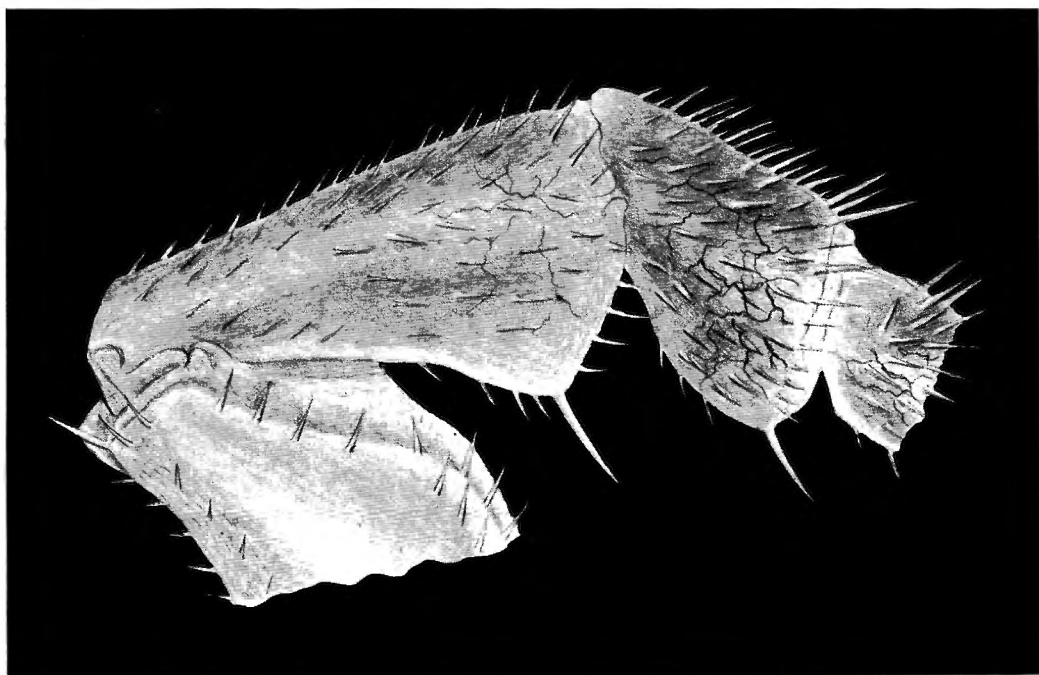


Fig. 61.

TAVOLA XXXII.

SPECIAZIONE DELLE FIGURE.

Figura (Pendente) assieme VAN NAME.

Fig. 62. — Ezequiele del J. Iezequiele gesito del a.
vinto del jato rottile (x 30).

Fig. 63. — Parte distale dell'unguolo del J. Ieze-
quiele gesito del a, visto del jato rottile
(x 30).

A. ARCAZIETI del.

.IIXXX AJOVAT

SPIEGAZIONE DELLE FIGURE.

Eubelum (Pseudethelum) asperius VAN NAME.

Fig. 62. — Exopodite del 1° pleopode destro del ♂, visto dal lato rostrale (x 90).

Fig. 63. — Parte distale dell'endopodite del 1° pleopode destro del ♂, vista dal lato rostrale (x 90).

A. ARCANGELI del.

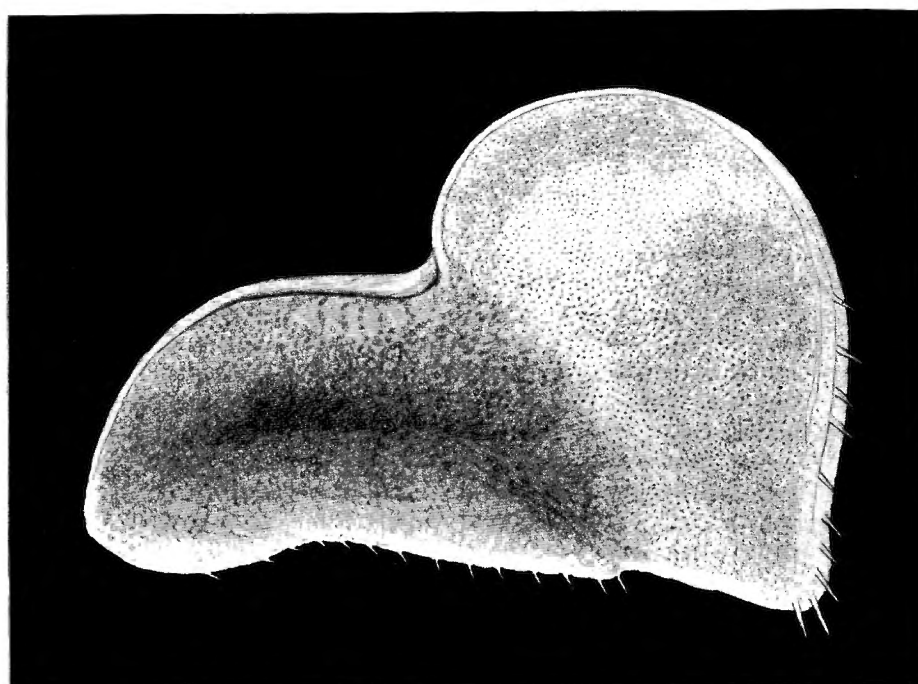


Fig. 62.

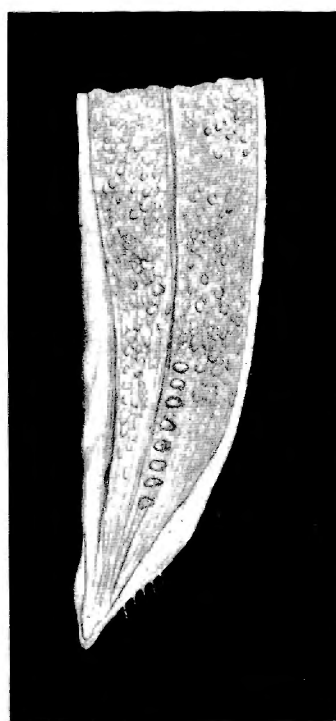


Fig. 63.

TAVOLA XXXIII.

SPIEGAZIONE DELLE FIGURE

Friggitina (Pezzogettonia) assorbita VAN NUDE.

Fig. 64. — Eziologia dei 1°. lembositi della
zona dell'isola rottura (x 30).

Fig. 65. — Eziologia dei 2°. lembositi della
zona dell'isola rottura (x 30).

A. ARCANELLI fig.

.IIIXXX AJOVAT

SPIEGAZIONE DELLE FIGURE.

Eubelum (Pseudethelum) asperius VAN NAME.

Fig. 64. — Exopodite del 1° pleopode destro della ♀, visto dal lato rostrale (x 90).

Fig. 65. — Exopodite del 2° pleopode destro della ♀, visto dal lato rostrale (x 90).

A. ARCANGELI del.

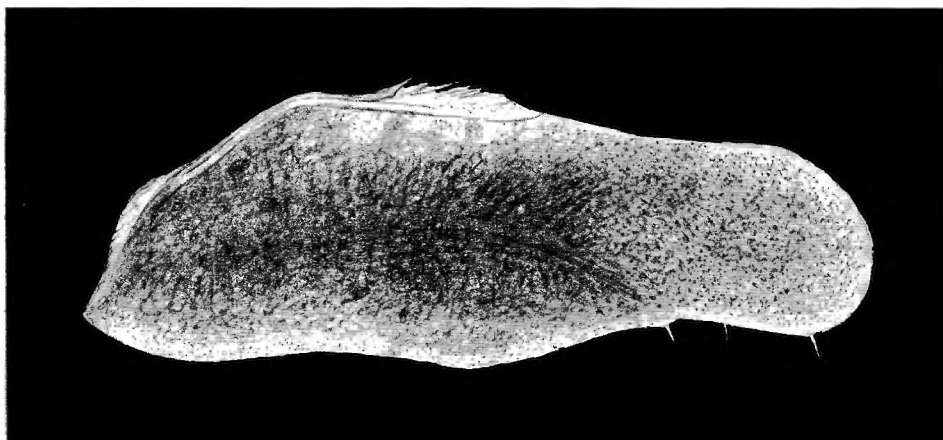


Fig. 64.

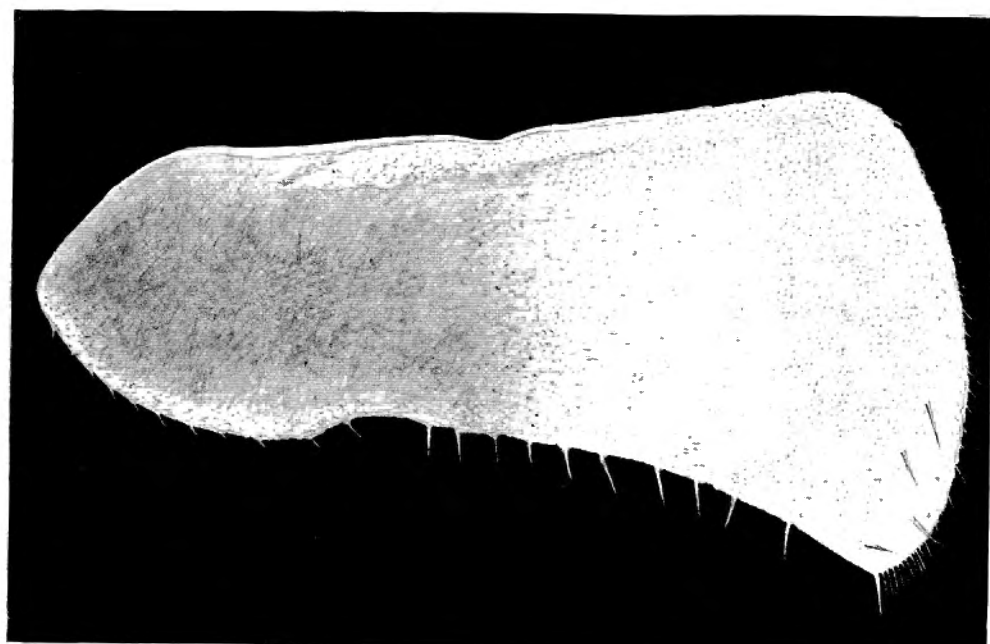


Fig. 65.

TAVOLA XXXIV.

SPIEGAZIONE DELLE FIGURE.

Eneperium (Pterygota) trapezoides ARCANGETI.

*Fig. 66. — Cephalon e parte anteriore del I. tercio
delle arti dei grossi (x 33).*

*Fig. 67. — Epimere destro del I. terziomito, visto da
sotto e grossamente (x 33).*

A. ARCANGETI det.

.VIXXX AJOVAT

SPIEGAZIONE DELLE FIGURE.

Eubelum (Pseudethelum) lugubre ARCANGELI.

Fig. 66. — Cephalon e parte anteriore del 1° pereionite, visti dal dorso (x 33).

Fig. 67. — Epimere destro del 1° pereionite, visto di lato e dorsalmente (x 33).

A. ARCANGELI del.

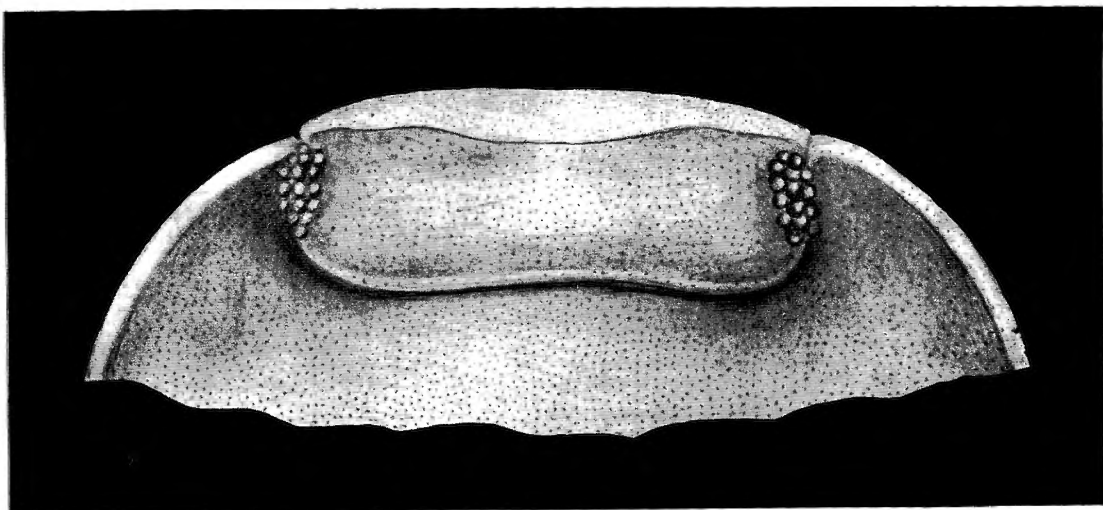


Fig. 66.

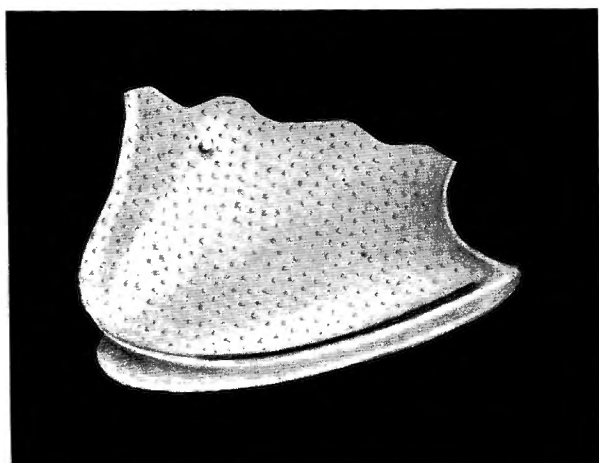


Fig. 67.

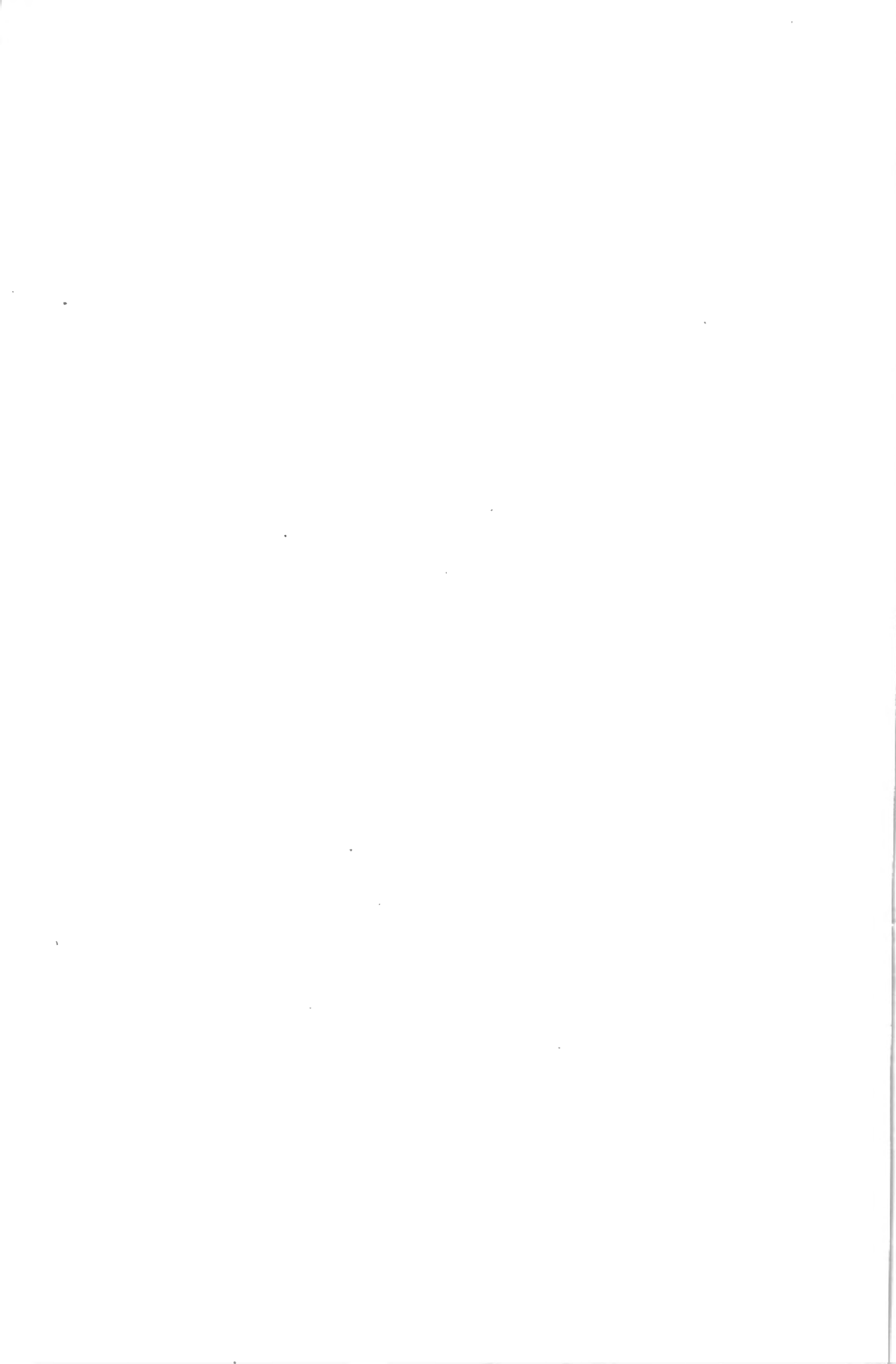


TAVOLA XXXV.

SPIEGAZIONE DELLE FIGURE.

Figura (Pezzo delle figure) figura ARCANOETI.

Fig. 48. — 2° blocco, proiezione del motivo, visto dal
fronte (x 33).

Fig. 49. — Blocco del 1° blocco sinistro e' visto dal
fronte (x 30).

A. ARCANOETI dal

VXXX AJOVAT

SPIEGAZIONE DELLE FIGURE.

Eubelum (Pseudethelum) lugubre ARCANGELI.

Fig. 68. — 5° pleonite, pleotelson ed uropodi, visti dal dorso (x 33).

Fig. 69. — Exopodite del 1° pleopode sinistro *a*, del 2° pleopode sinistro *b* della ♀, visti dal lato rostrale (x 90).

A. ARCANGELI del.

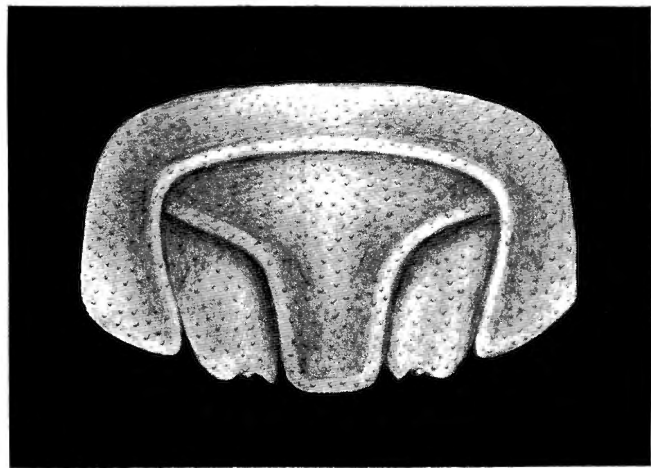


Fig. 68.

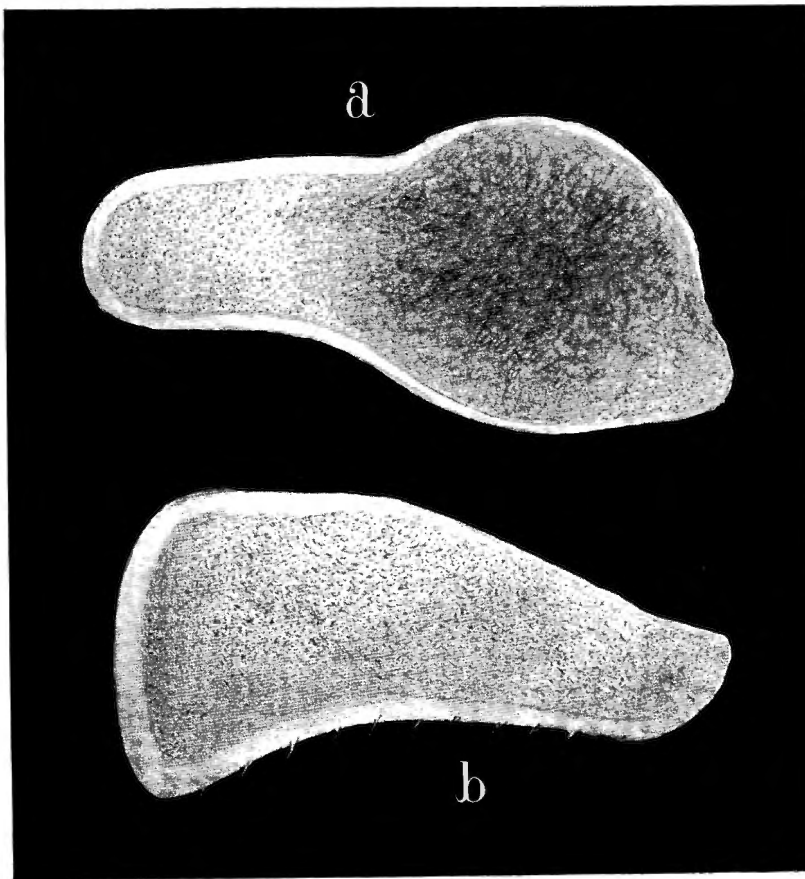


Fig. 69.

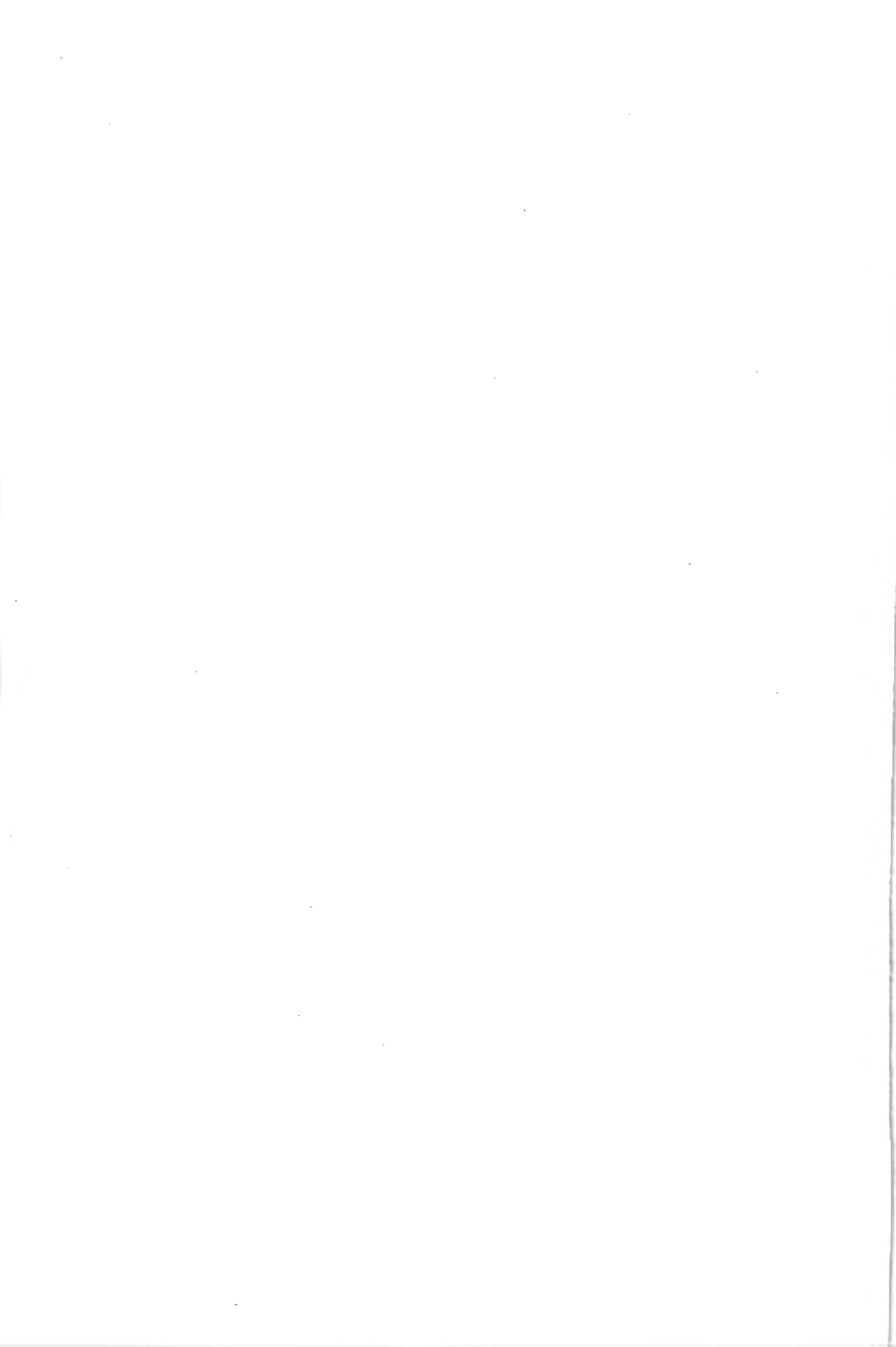


TAVOLA XXXVI.

SPIEGAZIONE DELLE FIGURE

Fuspolium (Pseudopelium) sordidum ARCANGETI

Fig. 30. — Copiajon e base superiore del I. tercio
della rami già nata (x 50).

Fig. 31. — Epimere destro del I. tercio, visto da
sotto e grossamente (x 40).

Fig. 32. — S. basale, proiezione di uno dei rami già
nata (x 48).
A. ARCANGETI del

.IVXXX AJOVAT

SPIEGAZIONE DELLE FIGURE.

Eubelum (Pseudethelum) novum ARCANELLI.

Fig. 70. — Cephalon e parte anteriore del 1° pereionite, visti dal dorso (x 50).

Fig. 71. — Epimere destro del 1° pereionite, visto di lato e dorsalmente (x 40).

Fig. 72. — 5° pleonite, pleotelson ed uropodi visti dal dorso (x 48).

A. ARCANGELI del.

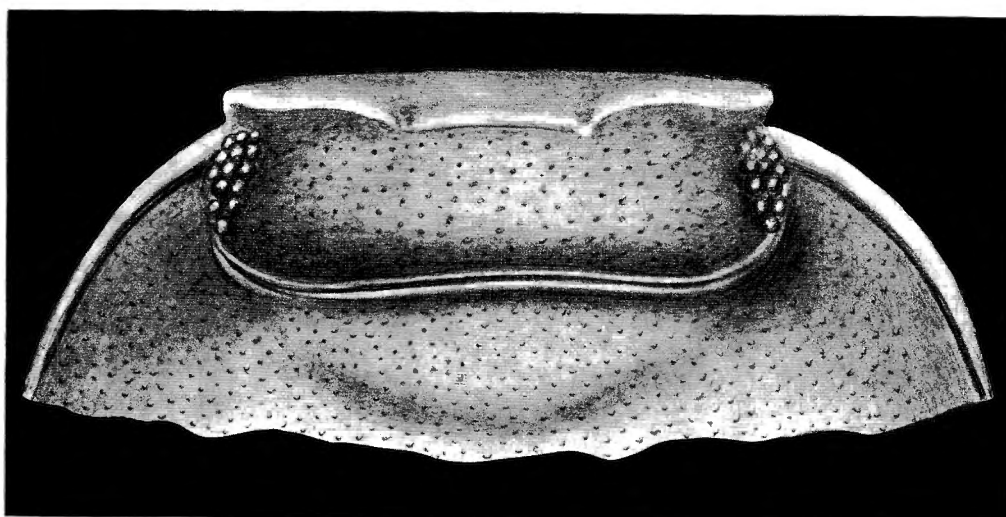


Fig. 70.

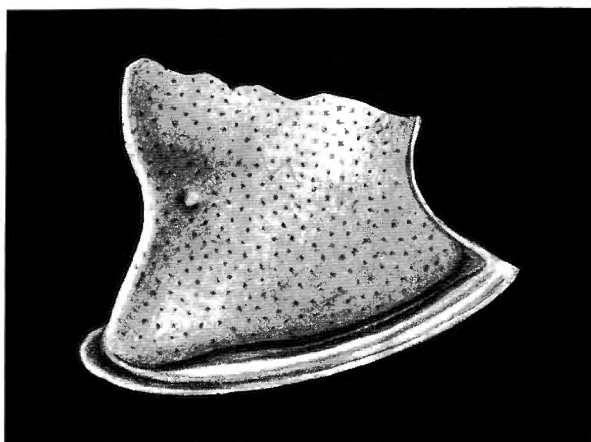


Fig. 71.

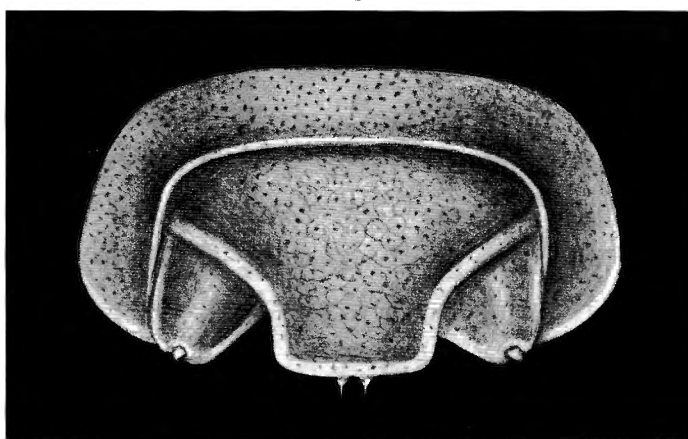


Fig. 72.



TAVOLA XXXVII.

SPECIAZIONE DELLE FIGURE.

Fig. 13. — *Pleotelson* del moschettone *Arcangeli*.

Fig. 13. — *Pleotelson* del moschettone *Arcangeli* (x 130).

Fig. 14. — Parte posteriore dell'apertura del d. berleio.
mis. variabili (x 440).

A. *ARCANGELI* det.

.IIVXXX AJOVAT

SPIEGAZIONE DELLE FIGURE.

Eubelum (Pseudethelum) squamatum ARCANGELI.

Fig. 73. — Pleotelson ed uropodi, visti dal dorso
(x 130).

Fig. 74. — Parte posteriore dell'epimere del 6° pereionite, vista dal dorso (x 440).

A. ARCANGELI del.

Exploration du Parc National Albert

Mission H. Damas (1935-1936) Fasc. 15

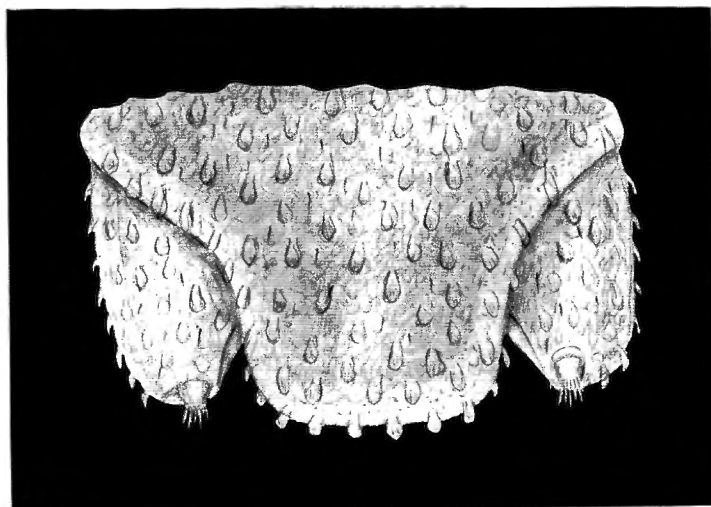


Fig. 73.

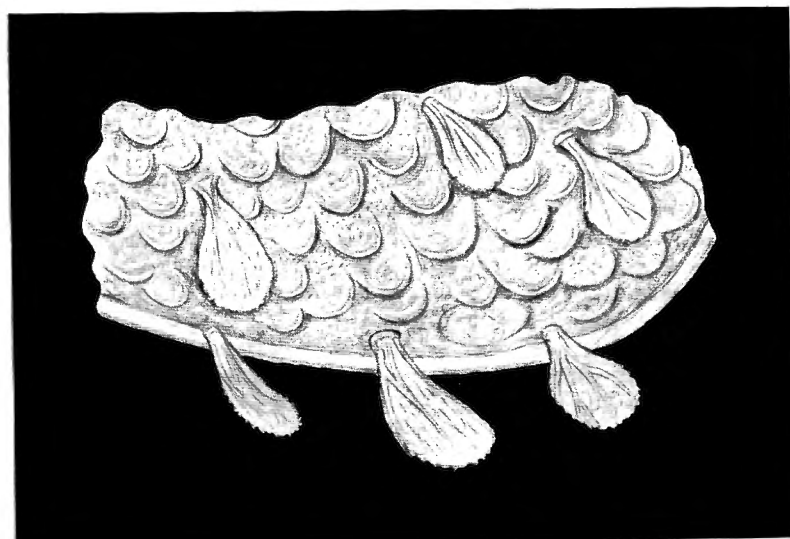


Fig. 74.

TAVOLA XXXVIII.

SPIEGAZIONE DELLE FIGURE.

Dipendenza (Pseudosympathicus) dell'arancella ARCANELLI.

Fig. 75. — Antenna dell'arancella sotto al colpo (x 130).

Fig. 76. — I° tercio delle antenne dell'arancella sotto al colpo (x 130).

A. ARCANELLI ssp.

.HIVXXX AJOVAT

SPIEGAZIONE DELLE FIGURE.

Eubelum (Pseudethelum) squamatum ARCANGELI.

Fig. 75. — Antenna destra, vista dal dorso (x 130).

Fig. 76. — 1° pereiopode destro del ♂, visto dal lato rostrale (x 130).

A. ARCANGELI del.

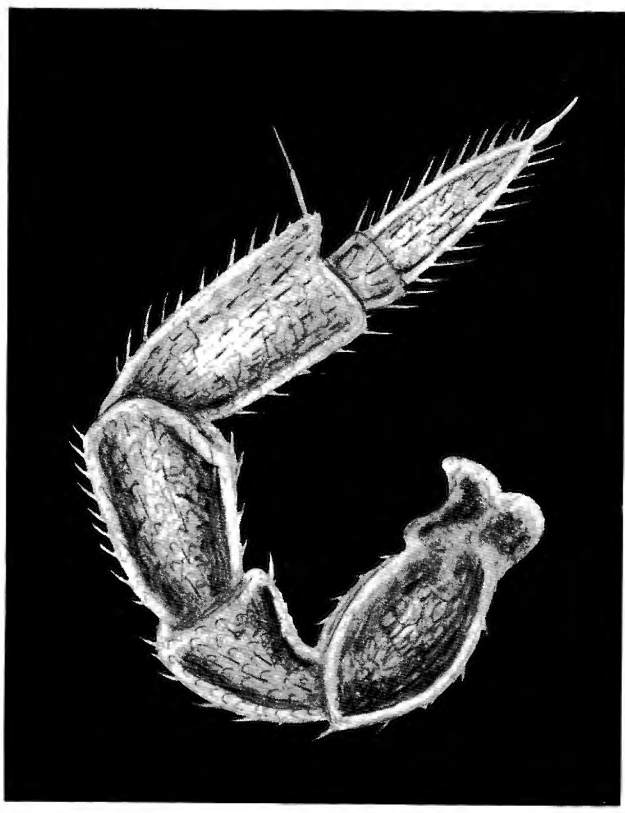


Fig. 75.

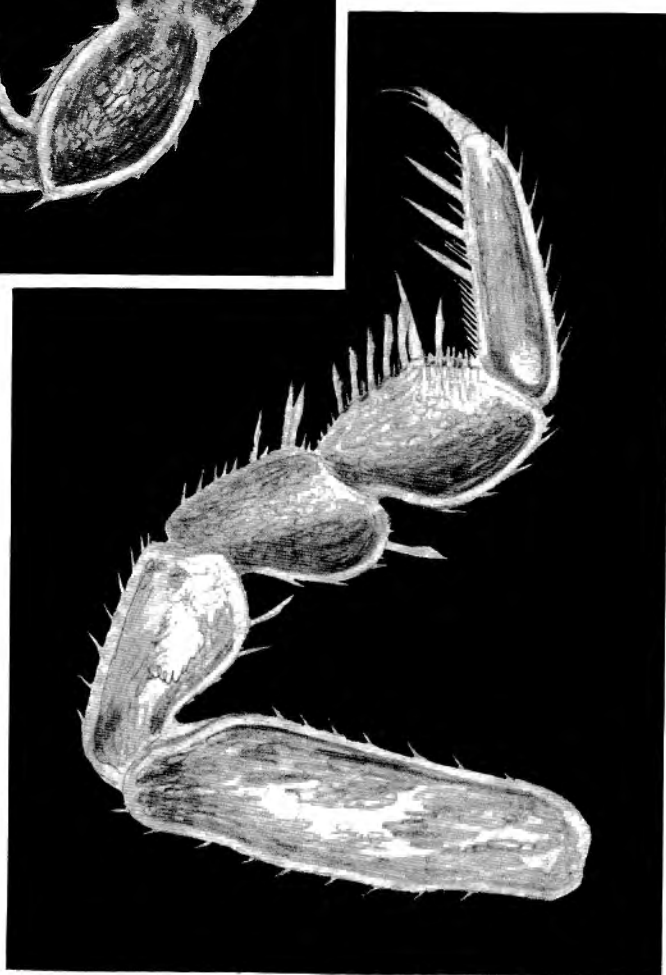


Fig. 76.

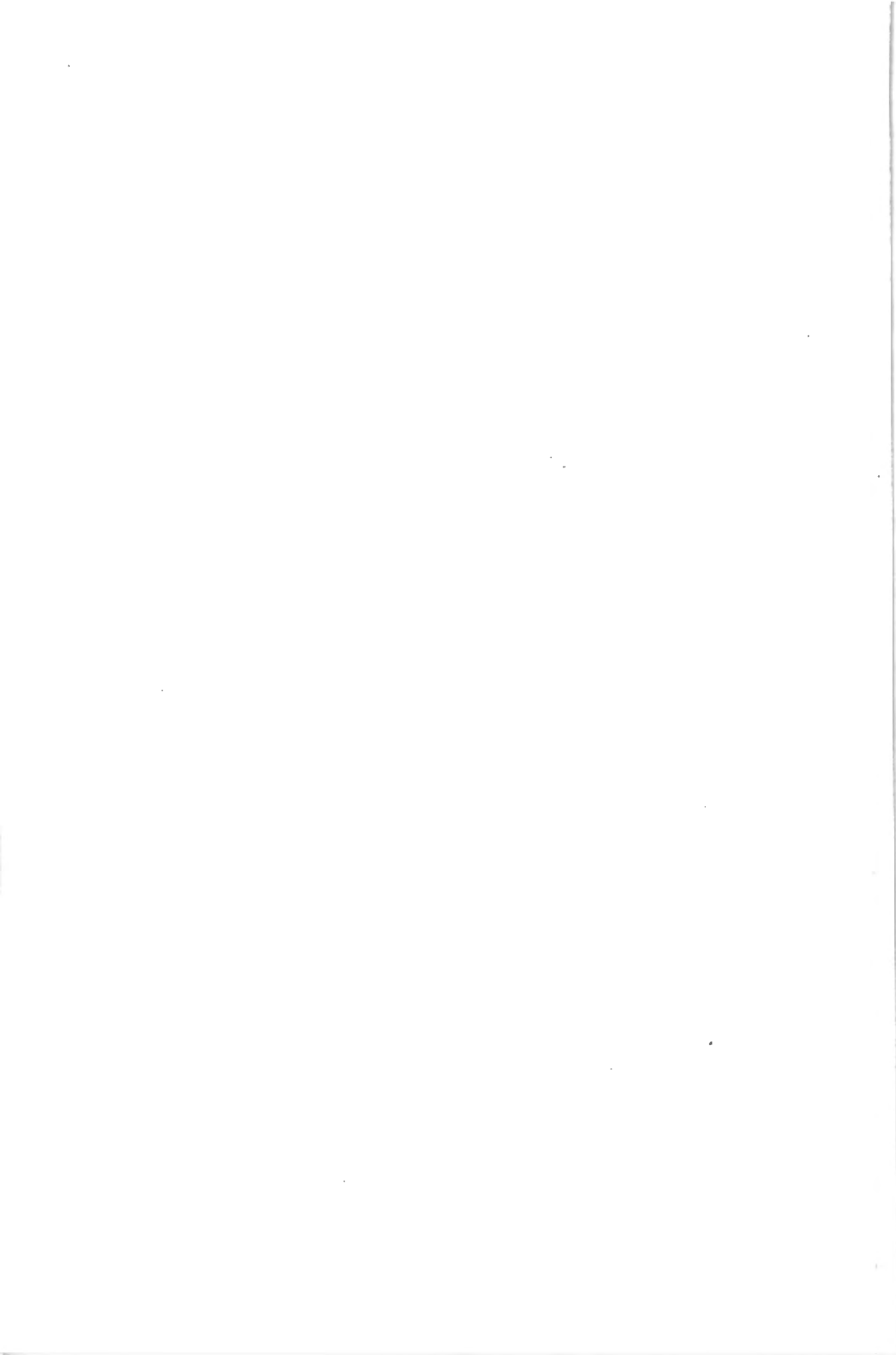


TAVOLA XXXIX.

SPIEGAZIONE DELLE FIGURE.

Eneperite (Pseudotephrite) sproporzionale ARCANEGEI.

Fig. 77. — 3° belloboche detto del a, visto dal lato
posteriore (x 130).

Fig. 78. — Eneperite I° belloboche detto del a, visto
dal lato posteriore (x 130).

A. ARCANEGEI det.

.XIXXX AJOVAT

SPIEGAZIONE DELLE FIGURE.

Eubelum (Pseudethelum) squamatum ARCANGELI.

Fig. 77. — 7° pereiopode destro del ♂ , visto dal lato rostrale (x 130).

Fig. 78. — Exopodite 1° pleopode destro del ♂ , visto dal lato rostrale (x 130).

A. ARCANGELI del.



Fig. 77.

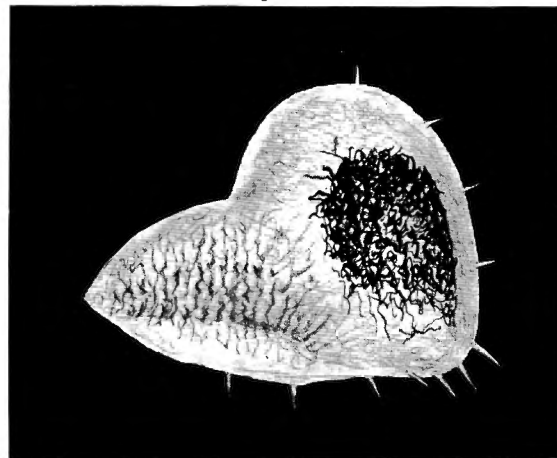


Fig. 78.



TAVOLA XL.

SPIEGAZIONE DELLE FIGURE.

Eryptium (Pseudeuryptium) subnudum Arcangeli.

Fig. 79. — Erobocite del 3° blastocoe dell'embrione di 100 micri (x 130).

Fig. 80. — a erobocite del 1° blastocoe dell'embrione di 100 micri (x 130).

A. ARCANEGELI del.

IX AJOVAT

SPIEGAZIONE DELLE FIGURE.

Eubelum (Pseudethelum) squamatum ARCANGELI.

Fig. 79. — Exopodite del 2º pleopode destro del ♂, visto dal lato rostrale (x 130).

Fig. 80. — *a*, exopodite del 1º pleopode destro; *b*, exopodite del 2º pleopode sinistro della ♀, visti dal lato rostrale (x 130).

A. ARCANGELI del.

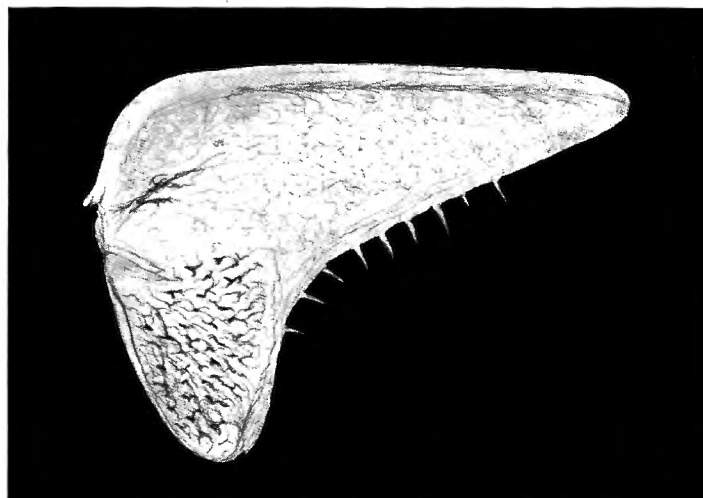


Fig. 79.

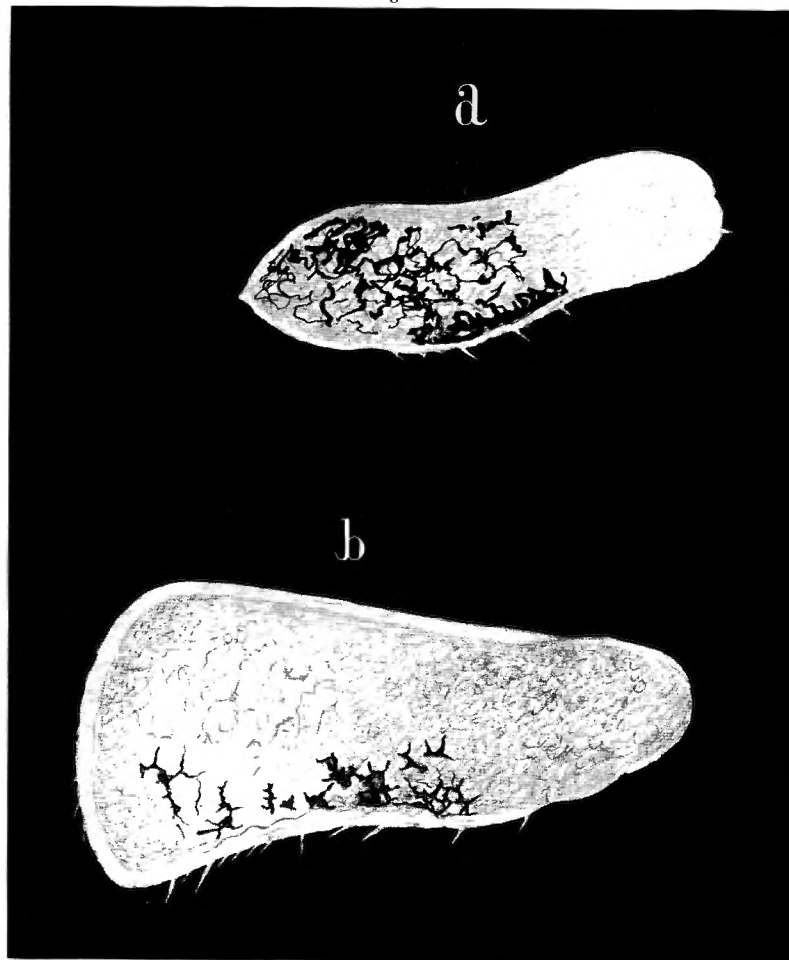


Fig. 80.

TAVOLA XLI.

SPIEGAZIONE DELLE FIGURE.

Figura (Peregrinum) minima ARCANGETI.

Fig. 81. — Cephalon e parte anteriore del I. tercio
della vita dell'oso (x 40).

Fig. 82. — Epitrocle della gola del I. tercio, visto da
sotto e grossamente (x 30).

Fig. 83. — 2° trocicle, pleurolepto ed acetabulo, visto da
sotto (x 30).

A. ARCANGETI del

LIX AJOVAT

SPIEGAZIONE DELLE FIGURE.

Eubelum (Pseudethelum) minimum ARCANGELI.

- Fig. 81. — Cephalon e parte anteriore del 1º pereionite, visti dal dorso (x 40).
- Fig. 82. — Epimere destro del 1º pereionite, visto di lato e dorsalmente (x 36).
- Fig. 83. — 5º pleonite, pleotelson ed uropodi, visti dal dorso (x 36).

A. ARCANGELI del.

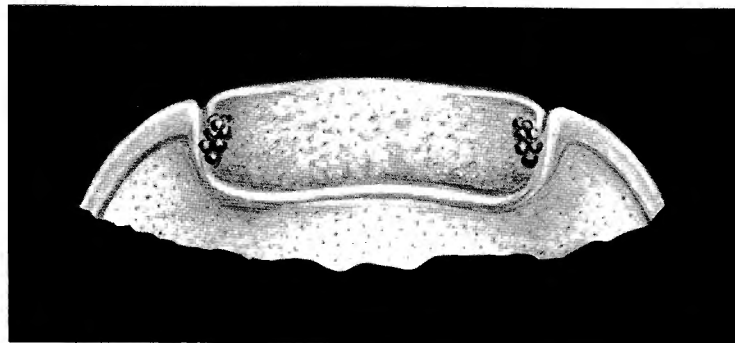


Fig. 81.

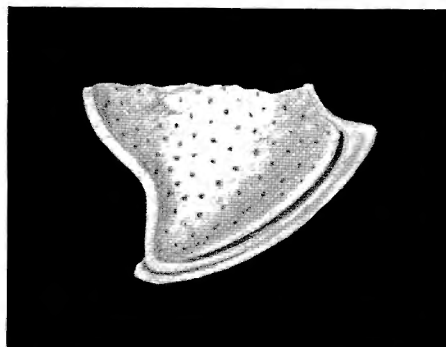


Fig. 82.

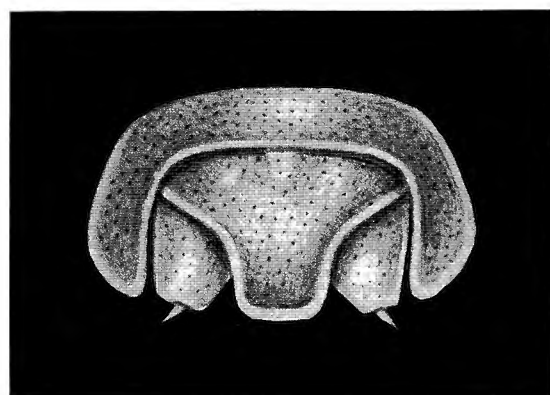


Fig. 83.

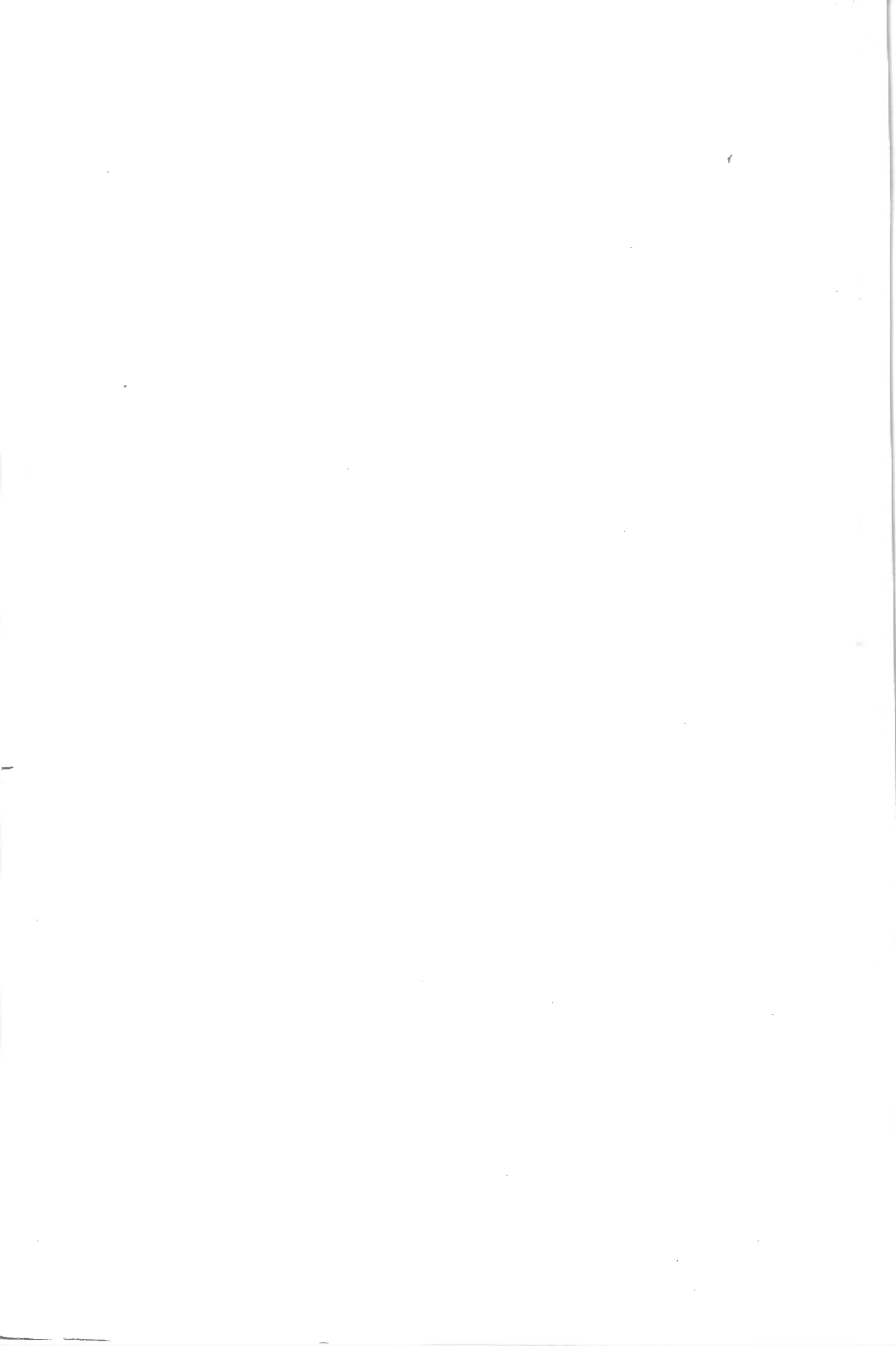


TAVOLA XLII.

SPIEGAZIONE DELLE FIGURE.

Schemedelio corologico Arcangeli.

Fig. 84. — Parte mediana e sinistra del capo, visto
dal ventre (x 30).

Fig. 85. — Epiteli dei testi del 1° beriotide, visto da
talo e dorso (x 18).

Fig. 86. — Epiteli sinistro del 3° beriotide, visto dal
ventre (x 30).

Fig. 87. — 2° beriotide, lato inferiore di torso, visto dal
dorsa (x 18).

A. ARCANGETI det.

ILLIX AJOVAT

SPIEGAZIONE DELLE FIGURE.

Schoutedenillo congolensis ARCANGELI.

- Fig. 84. — Parte mediana e sinistra del cephalon, visto dal ventre ($\times 20$).
- Fig. 85. — Epimere destro del 1° pereionite, visto di lato e dorsalmente ($\times 18$).
- Fig. 86. — Epimere sinistro del 2° pereionite, visto dal ventre ($\times 20$).
- Fig. 87. — 5° pleonite, plleotelson ed uropodi, visti dal dorso ($\times 18$).

A. ARCANGELI del.

Exploration du Parc National Albert

Mission H. Damas (1935-1936) Fasc. 15

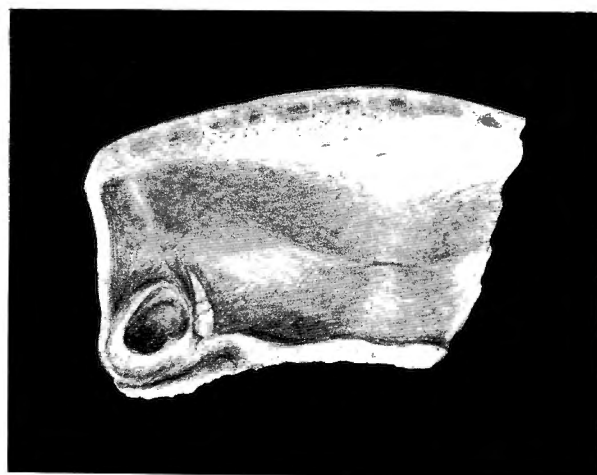


Fig. 84.

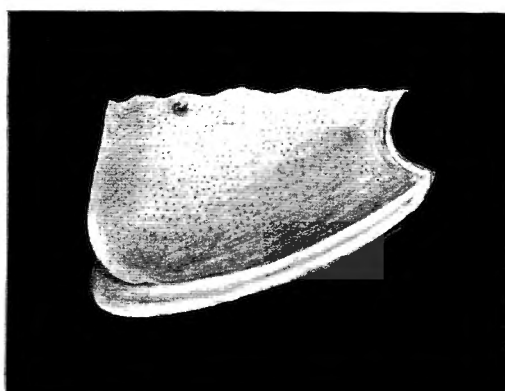


Fig. 85.

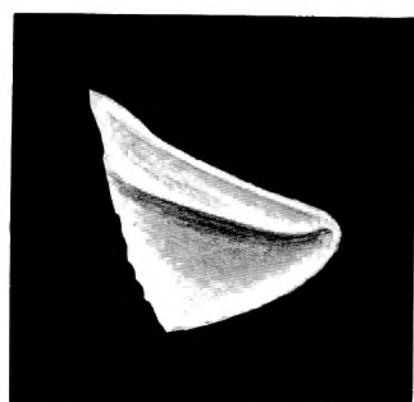


Fig. 86.

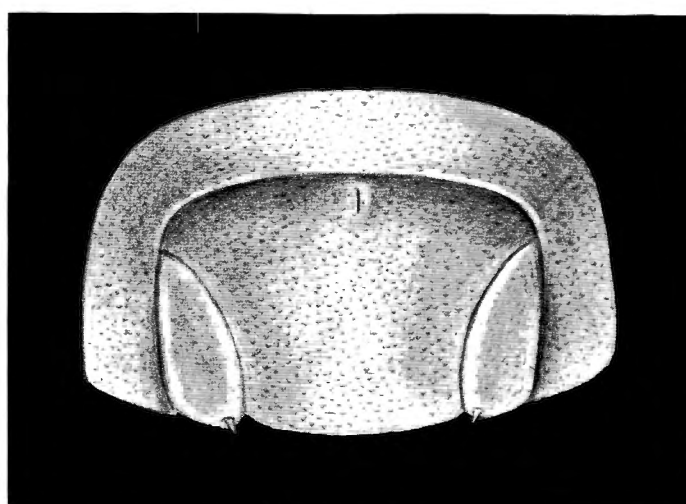


Fig. 87.

TAVOLA XLIII.

SPIEGAZIONE DELLE FIGURE.

Sopraelevazione corologica ARCANGETI

Fig. 88. — Parte distale delle insinuazioni delle I°.
masselle sinistre, vista dal lato congiunte
(x 440).

A. ARCANGETI det.

.IIIIX AJOVAT

SPIEGAZIONE DELLE FIGURE.

Schoutedenillo congolensis ARCANGELI.

Fig. 88. — Parte distale della lamina interna della 1^o mascella sinistra, vista dal lato caudale (x 440).

A. ARCANGELI del.

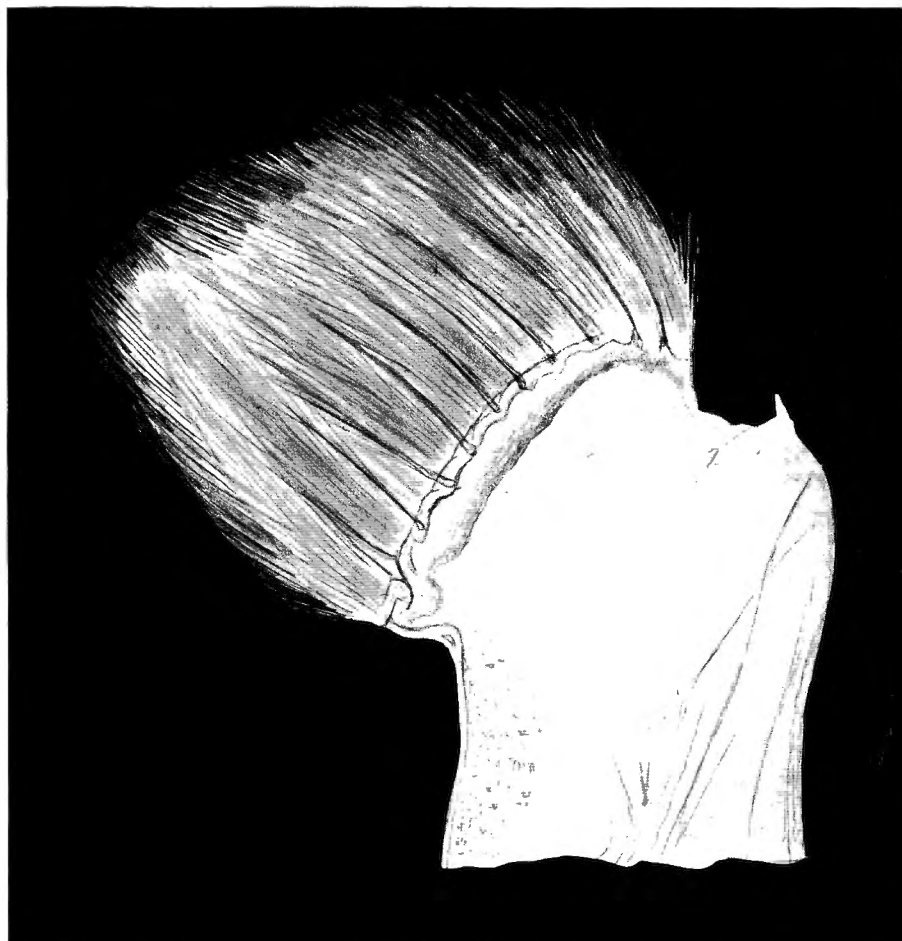


Fig. 88.

TAVOLA XLIV.

SPIEGAZIONE DELLE FIGURE.

Spiegazione delle figure Arcangeli

Fig. 80. — Parte distale del lodo massicottero del mas-
sillare destro, visto dal lato canale
. (Ott.)

Fig. 80. — Parte distale del lodo massicottero del mas-
sillare sinistro, visto dal lato canale
. (Ott.)

A. ARCANGETI del.

VIIIX AJOVAT

SPIEGAZIONE DELLE FIGURE.

Schoutedenillo congolensis ARCANGELI.

Fig. 89. — Parte distale del lobo masticatorio del masillipede destro, visto dal lato caudale (x 440).

Fig. 90. — Parte distale del lobo masticatorio del masillipede sinistro, visto dal lato caudale (x 440).

A. ARCANGELI del.

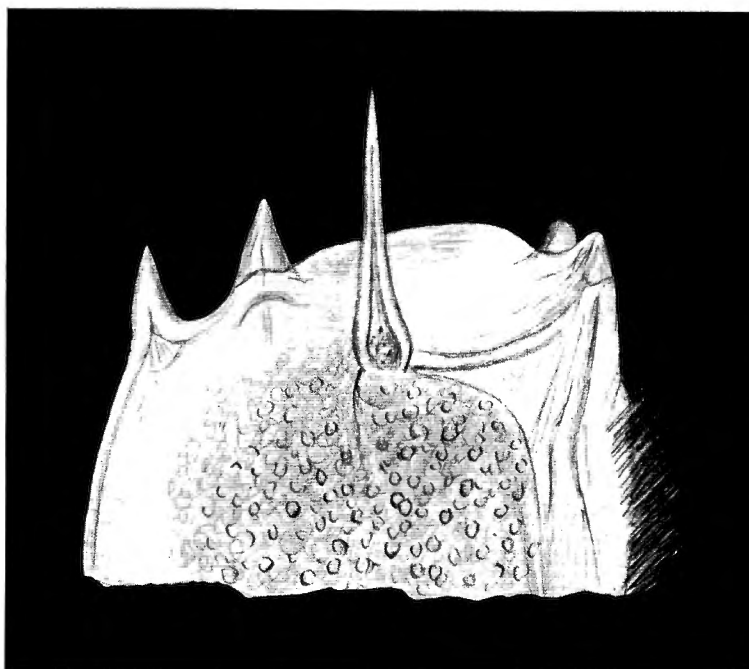


Fig. 89.

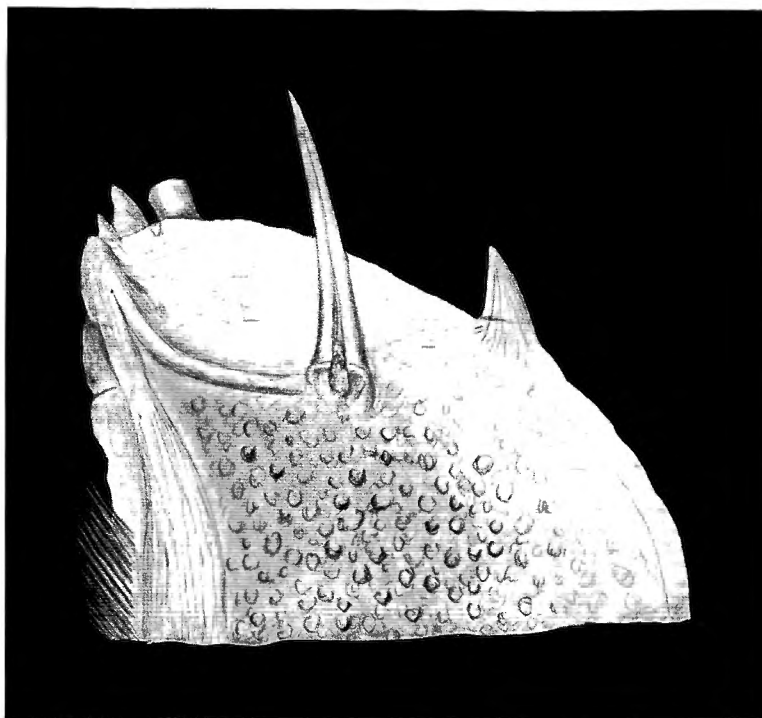


Fig. 90.

TAVOLA XLV.

SPIEGAZIONE DELLE FIGURE.

Schemeggiello congiunti Arcangeli.

Hg. 31. — Parte distale del peribocca, incisivobuccale, molareo-gingivale e parte buccosinale del cistoboco-
dente del 7º bennioboco dentro del a, visto
dal lato destrale (x 30).

A. ARCANELLI del.

VIX AJOVAT

SPIEGAZIONE DELLE FIGURE.

Schoutedenillo congoensis ARCANGELI.

Fig. 91. — Parte distale del basipodite, ischiopodite, meropodite e parte prossimale del carpopodite del 7º pereiopode destro del ♂, visto dal lato rostrale (x 90).

A. ARCANGELI del.

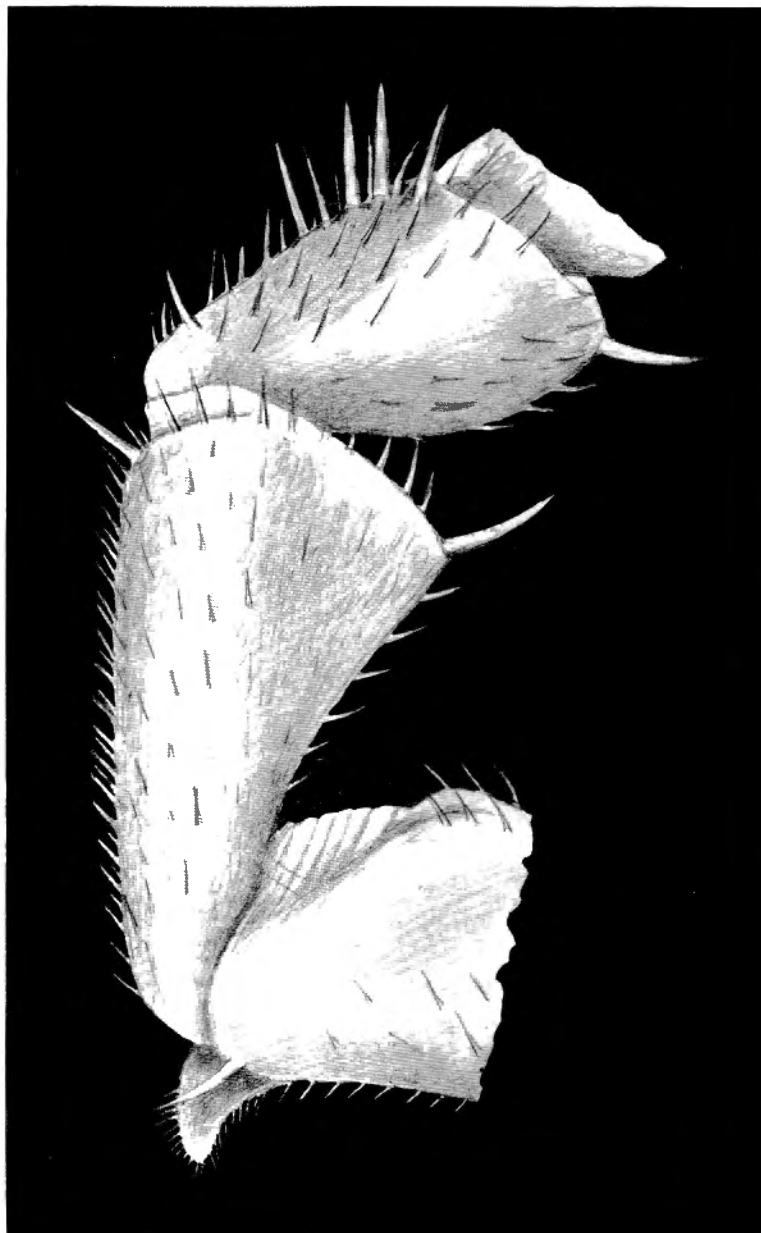


Fig. 91.



TAVOLA XLVI.

SPECIAZIONE DELLE FIGURE.

Selvaticus illo consilium Arcanum.

Fig. 62. — *Exobothrus* del I. *leptodea* destro del a.
visto dallo lato laterale (x 30).

Eupeltis Burgessoni Arcanum.

Fig. 63. — *Cephalaia* e *bartsiae* destro del I. *borealis*.
visto dalli dorso (x 25).

A. ARCANUM del.

IVIX AJOVAT

SPIEGAZIONE DELLE FIGURE.

Schoutedenillo congolensis ARCANGELI.

Fig. 92. — Exopodite del 1° pleopode destro del ♂,
visto dal lato rostrale (x 90).

Ethelum Burgeoni ARCANGELI.

Fig. 93. — Cephalon e parte anteriore del 1° pereio-
nite, visti dal dorso (x 22).

A. ARCANGELI del.

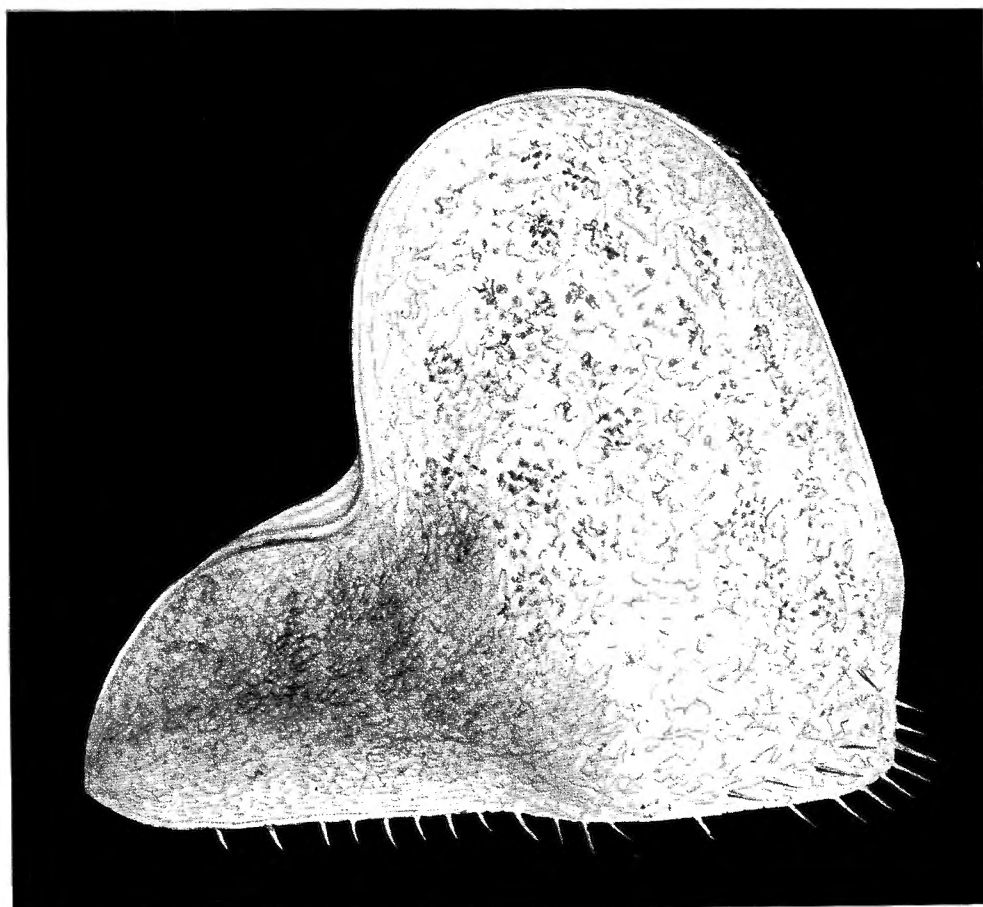


Fig. 92.

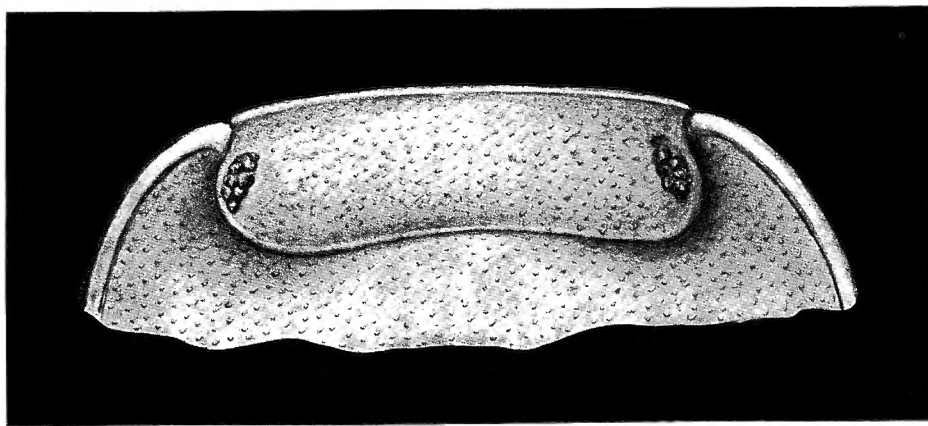


Fig. 93.

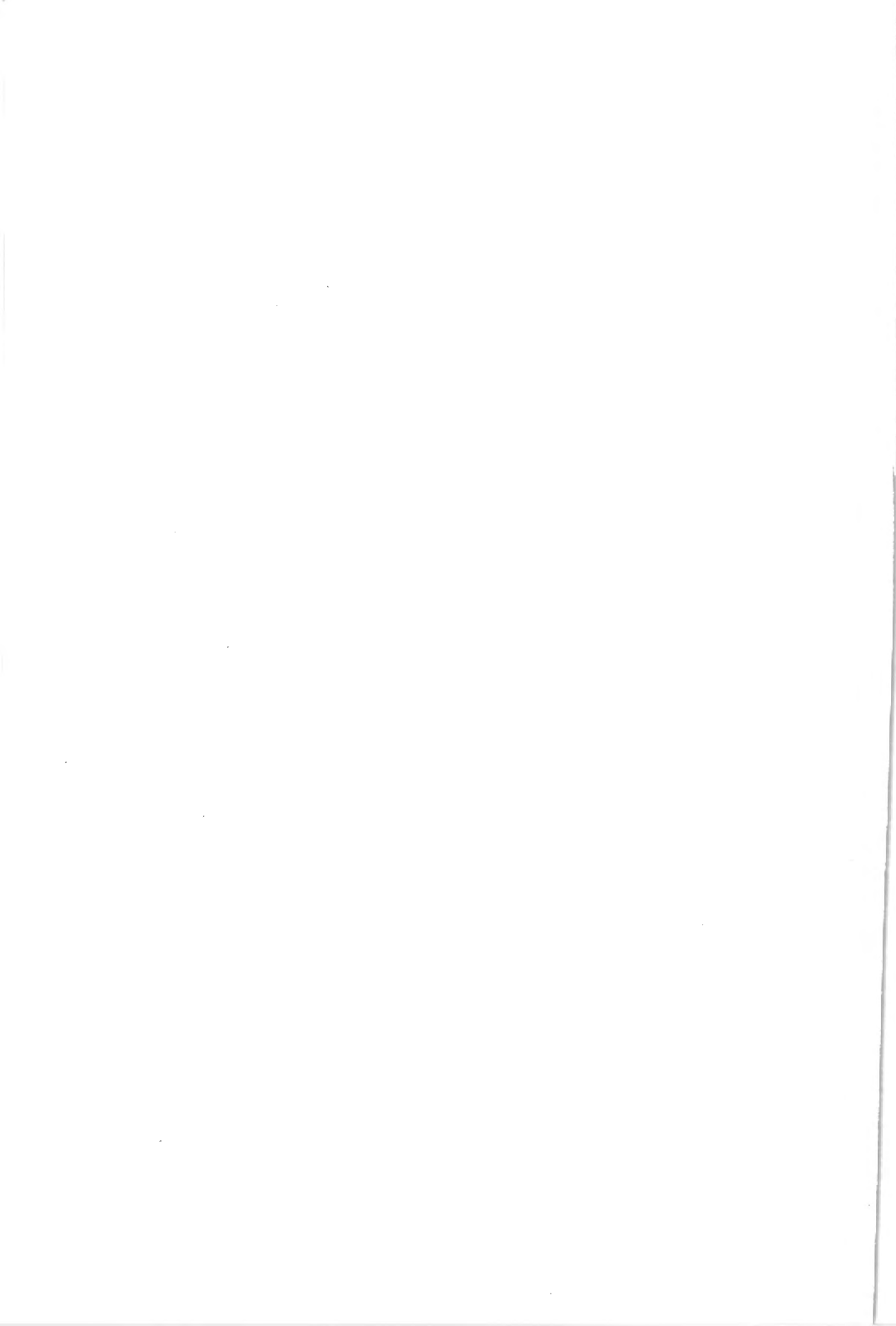


TAVOLA XLVII.

SPIEGAZIONE DELLE FIGURE

Esplosione di mezzo Arcangelo.

Fig. 4. — Esplosione della 1^a berlina, visto da
alto e lateralmente (x 35).

Fig. 5. — 2^a berlina, laterale da sopra, visto da
alto (x 35).

Fig. 6. — Parte sinistra del passo, riprodotte,
lateralmente e sotto prospettiva del cappo-
bottone del 3^a berlina visto dal
alto da sotto (x 30).

A. ARCANOGLI det.

.HIVJX AJOVAT

SPIEGAZIONE DELLE FIGURE.

Ethelum Burgeoni ARCANGELI.

- Fig. 94. — Epimere destro del 1º pereionite, visto di lato e dorsalmente (x 35).
- Fig. 95. — 5º pleonite, pleotelson ed uropodi, visti dal dorso (x 22).
- Fig. 96. — Parte distale del basipodite, ischiopodite, meropodite e parte prossimale del carpopodite del 7º pereiopode destro del ♂, visto dal lato rostrale (x 90).

A. ARCANGELI del.

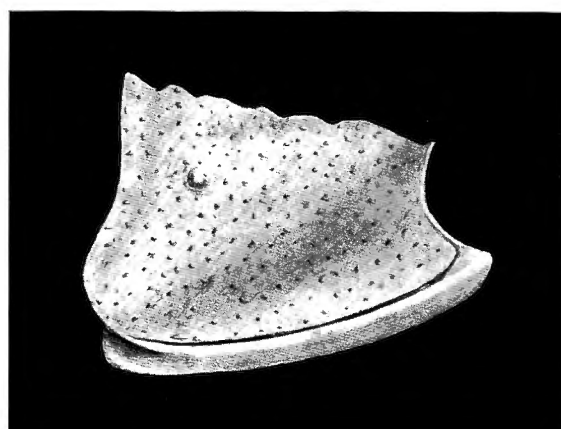


Fig. 94.

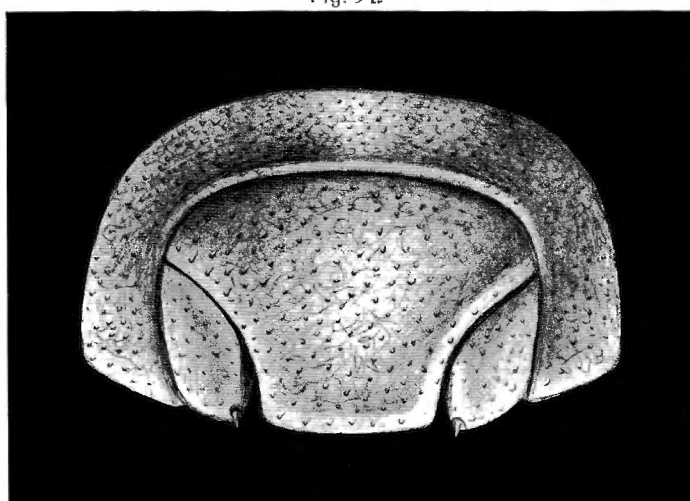


Fig. 95.

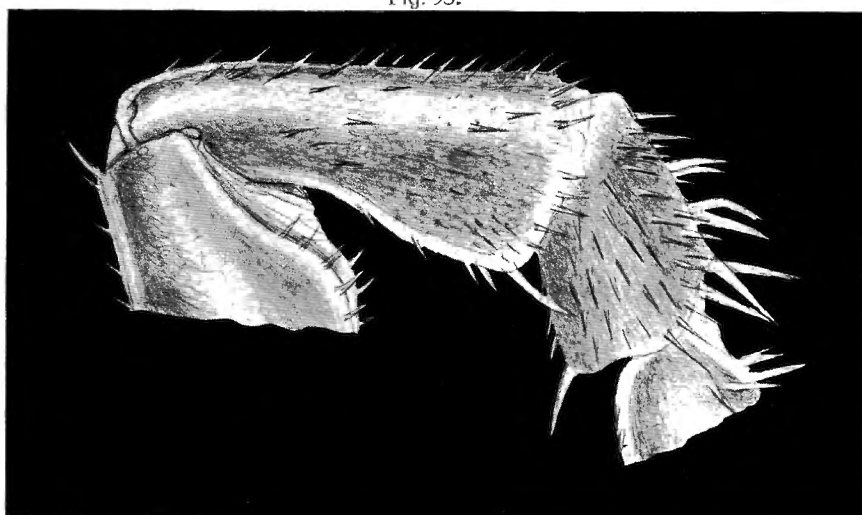


Fig. 96.



TAVOLA XLVIII.

SPIEGAZIONE DELLE FIGURE.

Espansione Brussoni Arcangeli.

Fig. 35. — Eziologia del I. bleopoite gel a,
vato gel into rotulae (x 30).

Fig. 36. — Parte distale dell'endopodite del I. bleo-
pote gel a, vista gel into rotulae
(x 440).

Espansione Brussoni Arcangeli.

Fig. 37. — 2° bleonite, pleotelson ed utropode, vista gel
rotolo (x 30).

A. ARCANOGLI gel.

IIIIX ALIOVAT

SPIEGAZIONE DELLE FIGURE.

Ethelum Burgeoni ARCANGELI.

Fig. 97. — Exopodite del 1º pleopode destro del ♂, visto dal lato rostrale (x 90).

Fig. 98. — Parte distale dell'endopodite del 1º pleopode destro del ♂, vista dal lato rostrale (x 440).

Ethelum pusillum ARCANGELI.

Fig. 99. — 5º pleonite, pleotelson ed uropodi, visti dal dorso (x 90).

A. ARCANGELI del.

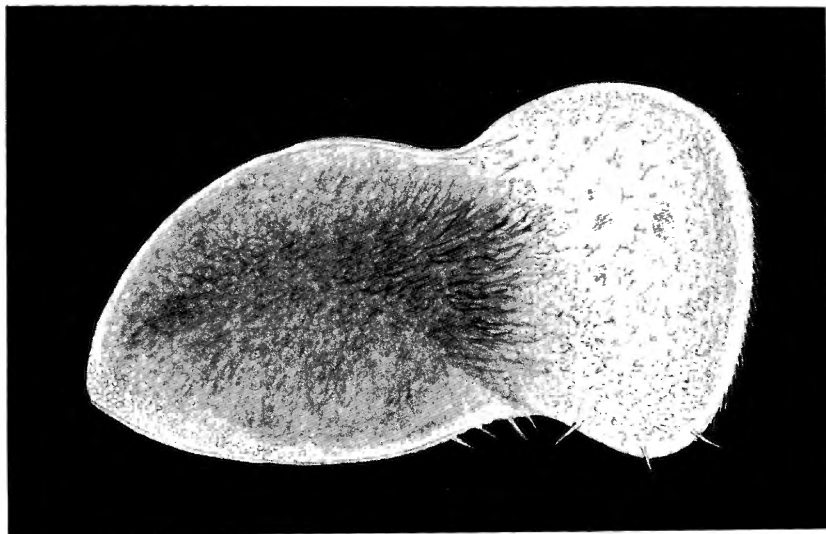


Fig. 97.

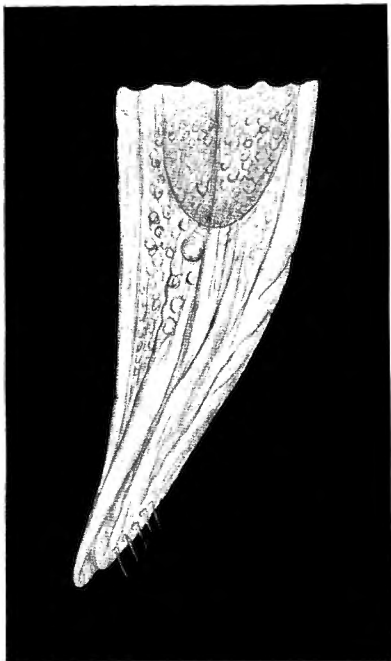


Fig. 98.

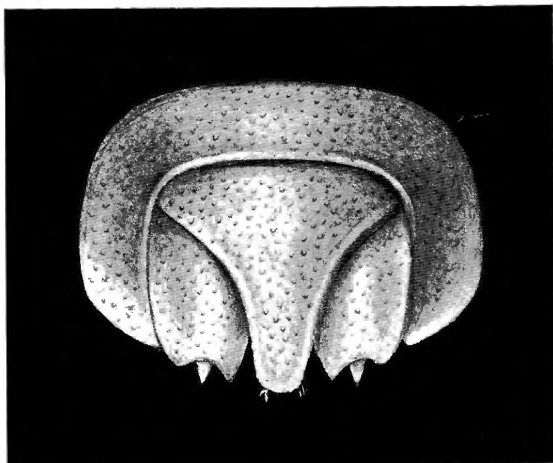


Fig. 99.

TAVOLA XLIX.

SPIEGAZIONE DELLE FIGURE.

Eugenio Brusilov Arcangeli.

Fig. 100. — Parte distale del 2° dito del braccio destro e
della coda dell'anguilla gattina vista dal ventre.
(x 340).

Fig. 101. — Appendice epicondilea e 1° lobo del
tro, visto dal dorso (x 30).

A. ARCANOELI del

XLIX AJOVAT

SPIEGAZIONE DELLE FIGURE.

Ethelum pusillum ARCANGELI.

Fig. 100. — Parte distale del 5º articolo dello scapo e flagello dell'antenna destra, vista dal ventre (x 340).

Fig. 101. — Appendice eiaculatoria e 1º pleopode sinistro, visti dal lato rostrale (x 90).

A. ARCANGELI del.



Fig. 100.

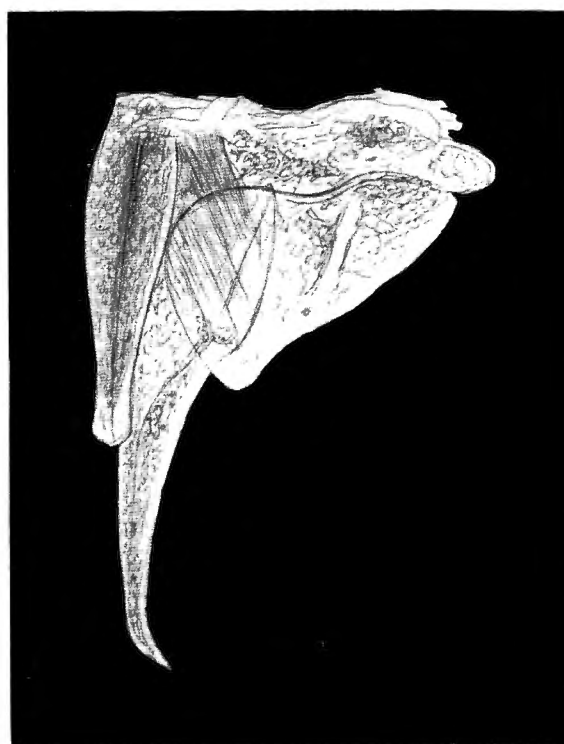


Fig. 101.

TAVOLA L.

SPIEGAZIONE DELLE FIGURE.

Argomento mineralogia Arcangeli

Fig. 102. — Cephalon e base superiore del J. berlio-
nico, visto dal dorso (x 35).

Fig. 103. — Epimere destro del J. berlonico visto di
fronte e dorso (x 35).

Fig. 104. — 2° pleonite, pleopodio di trofoide visto dal
dorso (x 35).

A. ARCANOGLI del

J. AJOVAT

SPIEGAZIONE DELLE FIGURE.

Atracheodillo marmorivagus ARCANGELI.

Fig. 102. — Cephalon e parte anteriore del 1º pereionite, visti dal dorso (x 37).

Fig. 103. — Epimere destro del 1º pereionite, visto di lato e dorsalmente (x 35).

Fig. 104. — 5º pleonite, pleotelson ed uropodi, visti dal dorso (x 35).

A. ARCANGELI del.

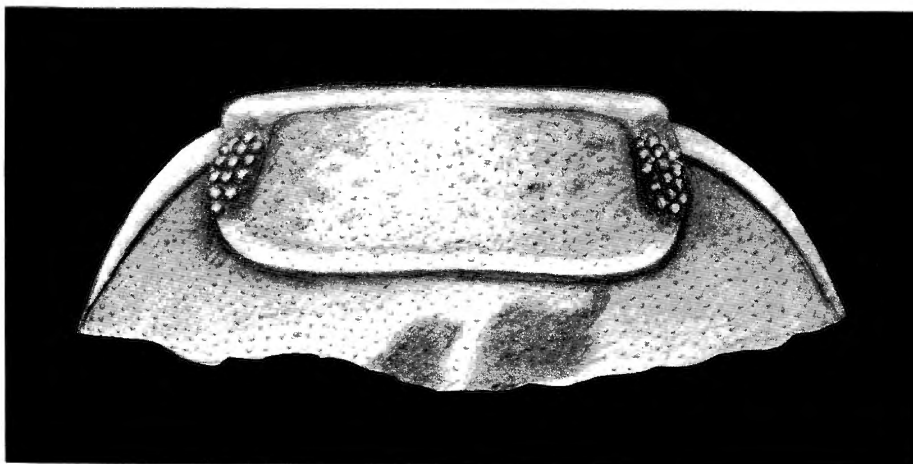


Fig. 102.

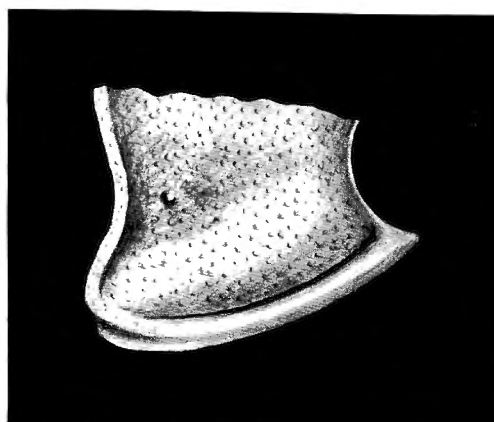


Fig. 103.

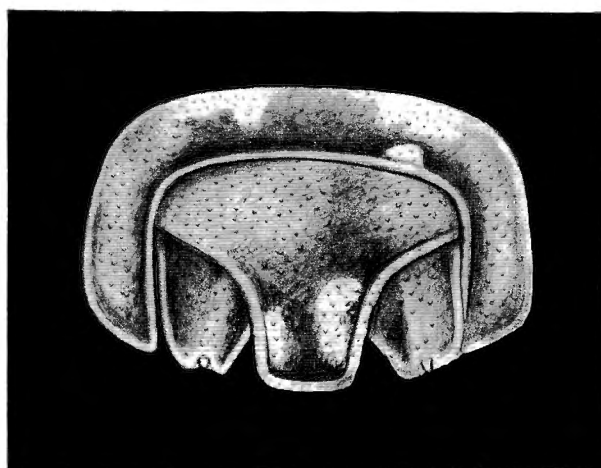


Fig. 104.

